# I Raggi Cosmici Galattici

Corso di **Fisica Astroparticellare** 

Lino Miramonti

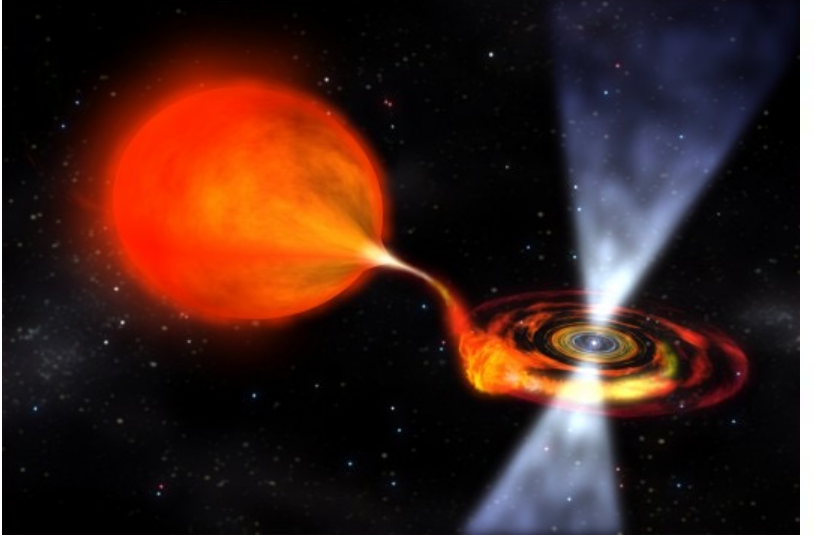


UNIVERSITÀ DEGLI STUDI DI MILANO

#### Testi consigliati (su cui si basano queste lezioni):

- Alessandro De Angelis, Mário João Martins Pimenta Introduction to Particle and Astroparticle Physics (Springer 2015, Springer 2018)
- Maurizio Spurio Particles and Astrophysics (Springer 2014)
- Maurizio Spurio The Probes of Multimessanger Astrophysics (Springer 2018)
- Claus Grupen Astroparticle Physics (Springer 2005, Springer 2020)

La natura degli acceleratori cosmici rappresenta uno tra i maggiori <u>problemi</u> astrofisici <u>irrisolti</u>





I siti galattici in cui i RC sono accelerati sono strettamente correlati con:

- la dinamica della <u>formazione</u> delle stelle massice
- l'<u>evoluzione</u> stellare
- le <u>esplosioni</u> delle SuperNovae

Lo studio dei RC aiuta a capire la formazione del nostro Sistema Solare.

# I Raggi Cosmici e la nostra Galassia

# La scoperta dei Raggi Cosmici

All'inizio del XX secolo gli scienziati si trovavano di fronte ad un problema che non riuscivano a spiegare: sembrava che nell'ambiente ci fosse molta più radiazione di quella che poteva essere prodotta dalla radioattività naturale.

elettroscopio

Table of Half Value Layers (in cm) for a

100, 200 and 500 keV.

different materials at gamma ray energies of

Absorber 100 keV 200 keV 500 keV

Carbon 2.07 cm 2.53 cm 3.54 cm

Water 4.15 cm 5.1 cm

3555 cm 4359 cm 6189 cm

Nel 1910 padre **Theodor Wulf** portò un rivelatore per contare il passaggio di particelle cariche sulla cima della Torre Eiffel, e scoprì che il conteggio di particelle cariche era maggiore di quanto avrebbe dovuto.

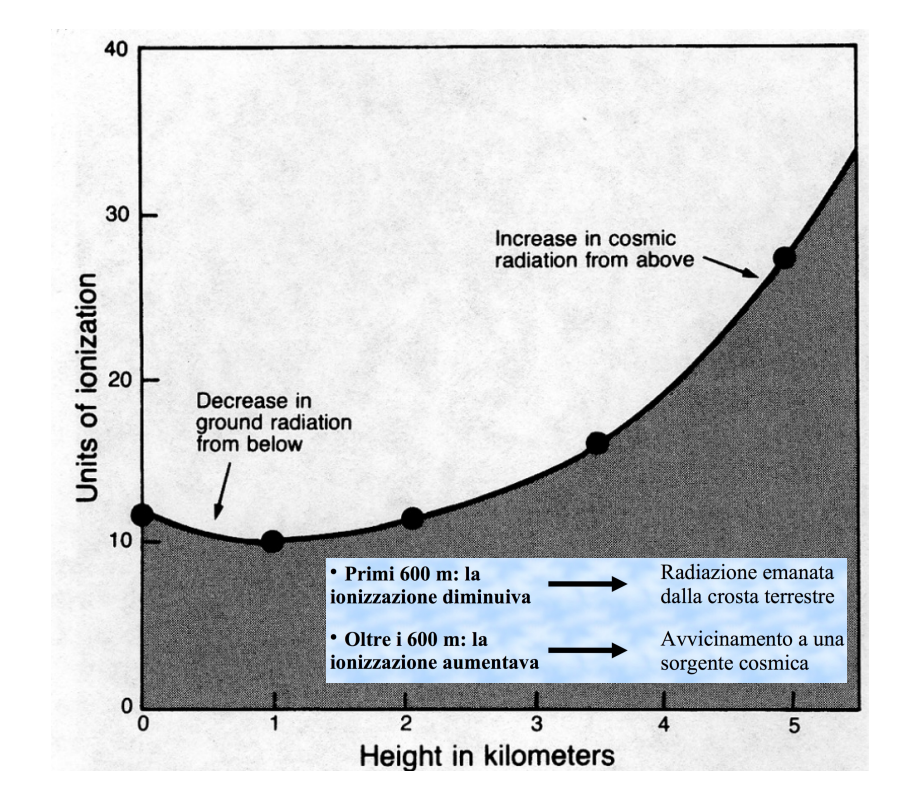
Se la radioattività viene dal suolo ci si aspetta una <u>riduzione esponenziale  $e^{-h/\lambda}$ </u>. Wulf osserva un passaggio da 6 ioni/cm<sup>3</sup> al suolo a 3.5 ioni/cm<sup>3</sup> alla sommità. Se fossero raggi  $\gamma$  emessi dal suolo il conteggio dovrebbe dimezzare a 80 m di quota.



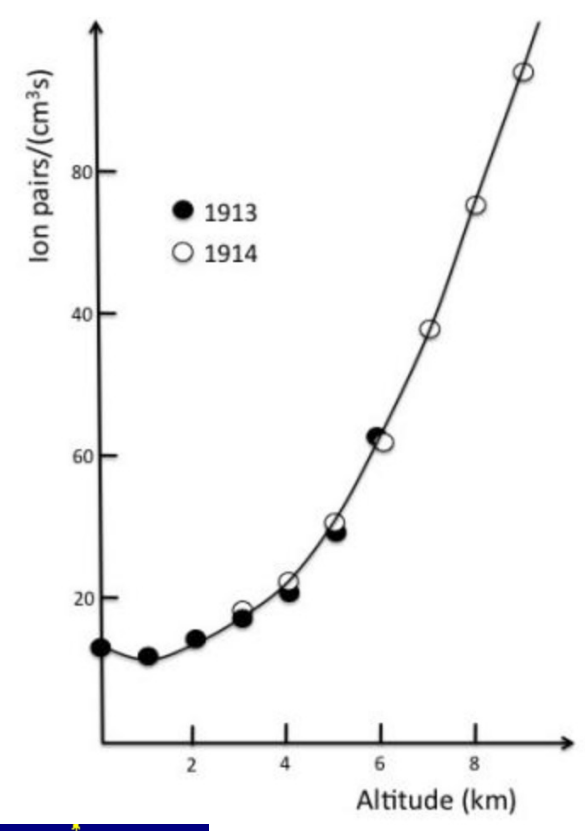
Nel 1912, Victor Hess caricò su un pallone aerostatico un dispositivo per misurare le particelle cariche (5300 m asl).

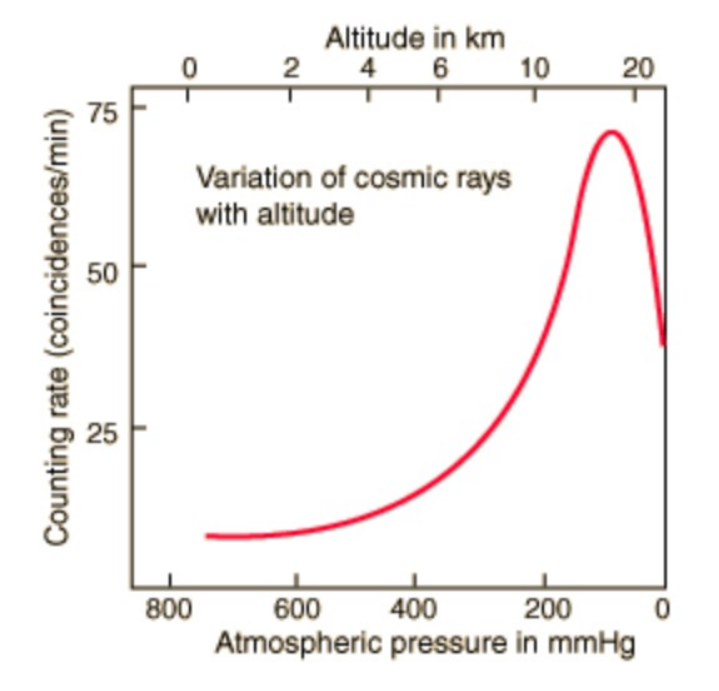
Nel volo, si dimostrò come <u>la radiazione</u> aumentava con l'altitudine.

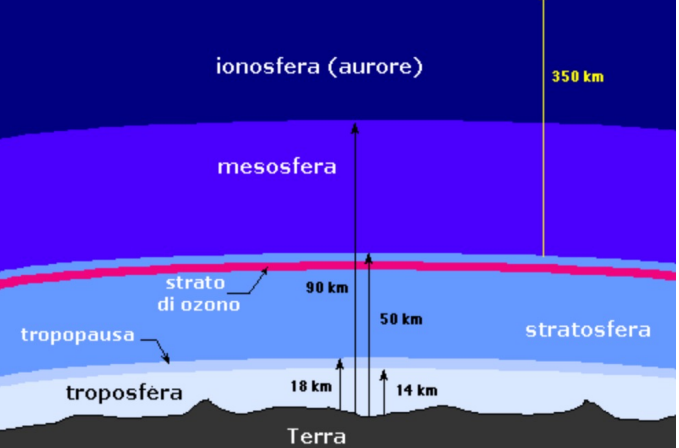
Questo significava che la radiazione sconosciuta <u>non aveva origine terrestre</u> (come la radioattività naturale) ma proveniva dallo spazio esterno, da cui il nome di Raggi Cosmici



Dopo la scoperta di Hess furono portati a termine vari esperimenti (con palloni aerostatici, con palloni sonda, in aereo, nei laghi, in montagna, nei ghiacciai) per capire l'origine e la natura della radiazione. Durante una campagna di voli in pallone negli anni 1913-1914, Werner Kolhörster conferma i risultati di Hess; raggiungendo la quota di 9300 metri,





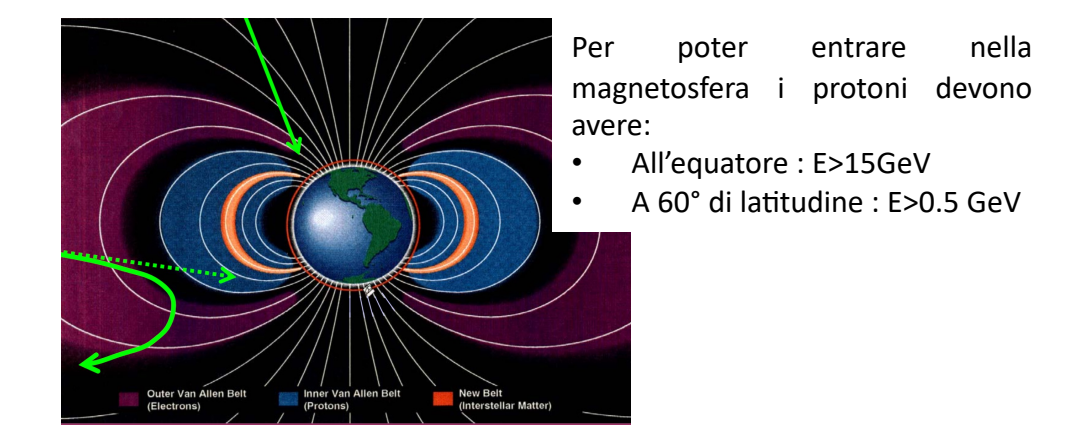


7

A Robert Millikan (anni '20) si deve il nome di Raggi Cosmici ma riteneva che fossero principalmente <u>raggi gamma</u>.

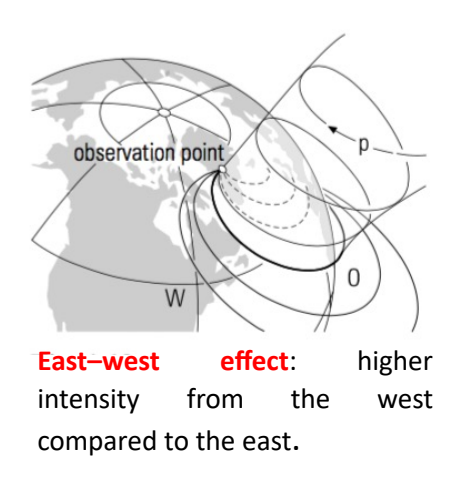
Arthur Compton contrariamente ipotizzò che i RC fossero particelle cariche.

Successive misure (Clay -1928) confermarono la natura particellare dei RC infatti l'intensità della radiazione variava con la latitudine (come deve essere per particelle cariche sotto l'influenza del campo magnetico terrestre)



Nel 1931 Bruno Rossi suggerì che se la <u>carica</u> delle particelle fosse stata <u>positiva</u> allora esse devono <u>provenire preferenzialmente da ovest</u>: Effetto Est-Ovest.

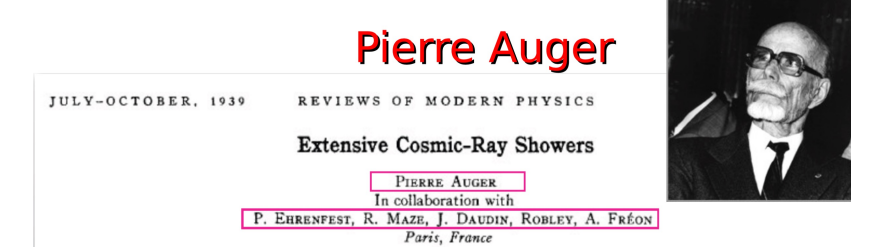
Fu confermato da Alvarez e Compton.



Nel 1935 Baade e Zwicky suggeriscono che i Raggi Cosmici sono originati dalle esplosioni dei SuperNovae.

Nel 1937 Pierre Auger identifica raggi cosmici provenienti da due rivelatori distanti messi in coincidenza temporale.

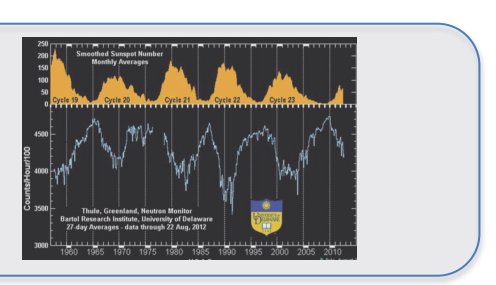
→ Scoperta degli sciami atmosferici estesi → E<sub>RC</sub>≈10<sup>15</sup> eV!

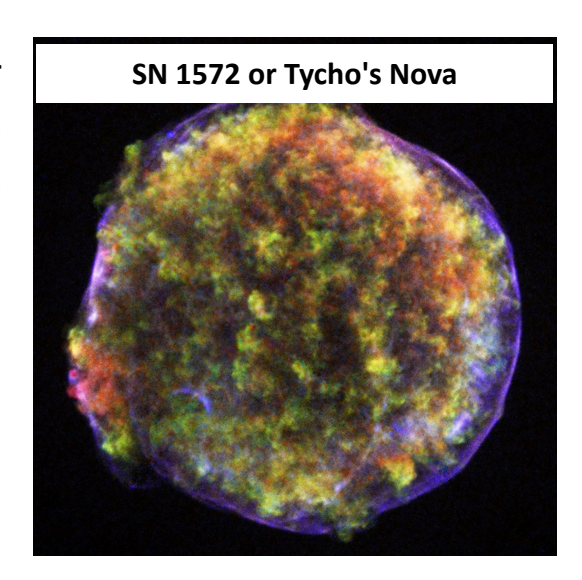


Nel 1949 Erico Fermi suggerisce il meccanismo di accelerazione attraverso il quale i RC possono raggiungere tali energie.

**SuperNova Remnants (SNR)** are recognized as candidates for the acceleration of galactic CRs. The main motivation is the relation between the loss in kinetic energy due to CRs escape from the galactic disk and the energy released by supernova shock waves.

Only **low-energy particles** (below few GeV) are of **solar origin**.





#### Alcuni chiarimenti sulla differenza tra:

- Raggi Cosmici Primari
- Raggi Cosmici Secondari
- Sciami Estesi in Atmosfera

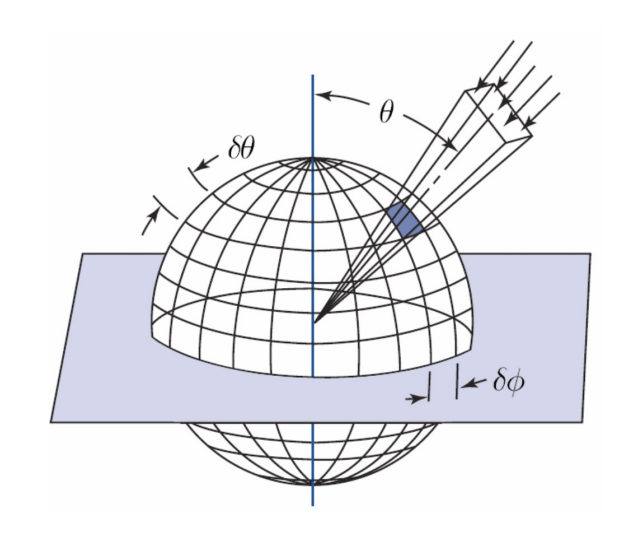
**Primary** CRs are high-energy protons and nuclei (plus a minority electron component) produced in astrophysical environments, filling the galactic space and arriving on Earth.

**Secondary CRs** are those particles <u>produced in interactions of the primaries with interstellar gas or with nuclei in the Earth's atmosphere</u>.

Nuclei such as lithium, beryllium, and boron (which are very rare end-products of stellar nucleosynthesis) are secondary particles, as well as antiprotons and positrons.

**Extensive Air Shower (EAS)** is an extensive <u>cascade</u> of ionized particles and <u>electromagnetic radiation</u> produced in the <u>atmosphere</u> when a primary <u>cosmic ray</u> (i.e. one of extraterrestrial origin) enters the atmosphere.

# flusso differenziale e flusso integrale



**zenith** angles  $\theta$ and **azimuth** angles φ

*flusso differenziale:* 
$$\Phi(E) = \frac{d^2\varphi}{dE \ d\Omega}(E) = \frac{dN}{A \cdot T \cdot dE \cdot d\Omega} \left[ \frac{particelle}{cm^2 \ sr \ s \ GeV} \right]$$

flusso integrale:

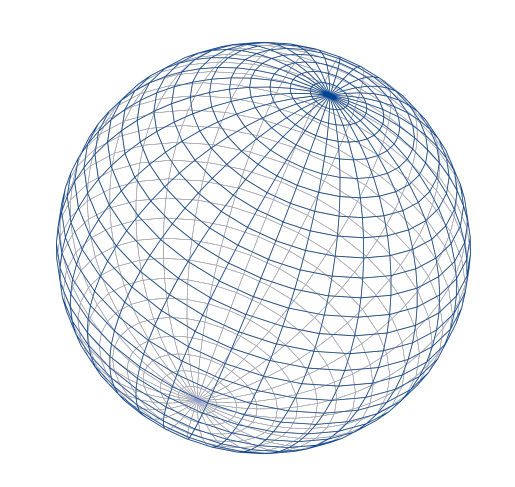
$$\Phi(>E_0) = \int_{E_0}^{\infty} \frac{d^2 \varphi}{dE \ d\Omega} dE = \frac{dN}{A \cdot T \cdot d\Omega} \quad \left[ \frac{particelle}{cm^2 \ sr \ s} \right]$$

# flusso attraverso una superficie

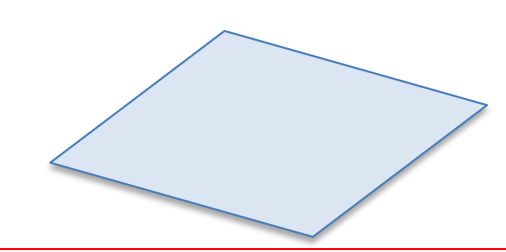
Il flusso di particelle (isotropico) attraverso una

superfice sferica è:

$$4\pi \frac{d^2 \varphi}{dE \ d\Omega}(E) = 4\pi \ \Phi(E) \quad \left[\frac{particelle}{cm^2 \ s \ GeV}\right]$$



Il flusso differenziale attraverso una superfice piana (rivelatore) da un emisfero è:



$$F(E) = \int \frac{d^2 \varphi}{dE \ d\Omega} \cos \vartheta \ d\Omega = \Phi(E) \int_0^{2\pi} d\phi \int_0^{\pi/2} sen\theta \cdot \cos \theta \ d\theta = \pi \ \Phi(E) \quad \left[ \frac{particelle}{cm^2 \ s \ GeV} \right]$$

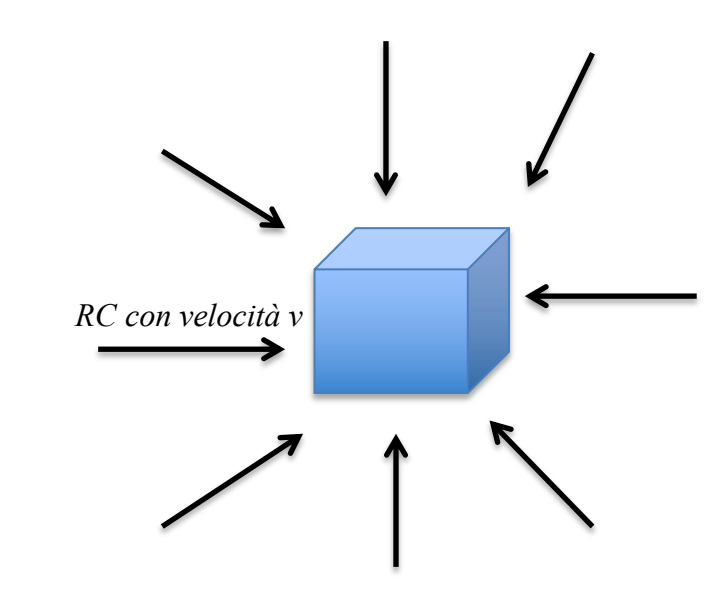
Il flusso integrale attraverso una superfice piana (rivelatore) da un emisfero è:

$$F(>E) = \pi \Phi(>E)$$

 $F(>E) = \pi \Phi(>E) \left| \frac{particelle}{m^2} \right|$ 

# Particle number density n [cm<sup>-3</sup>]

La densità numerica di particelle (particle number density) n [cm<sup>-3</sup>] di Raggi Cosmici che si muovono con un velocità v corrisponde al numero di particelle presenti in un dato volume ad un dato tempo.



E' ottenuto integrando il flusso integrale sull'angolo solido e dividendo per la velocità

Particle number density: 
$$n = \frac{4\pi}{v}\Phi(>E)$$
  $\left[\frac{particelle}{cm^3}\right]$  NB: Valida nel caso Isotropico

Differential particle number density: 
$$\frac{dn}{dE} = \frac{4\pi}{v} \Phi(E)$$
  $\left| \frac{particelle}{GeV \ cm^3} \right|$ 

# **Spettro energetico**

# Spettro energetico differenziale $\Phi(E)$

(particles/m<sup>2</sup> sr s GeV)

#### Il flusso integrale F(>E)

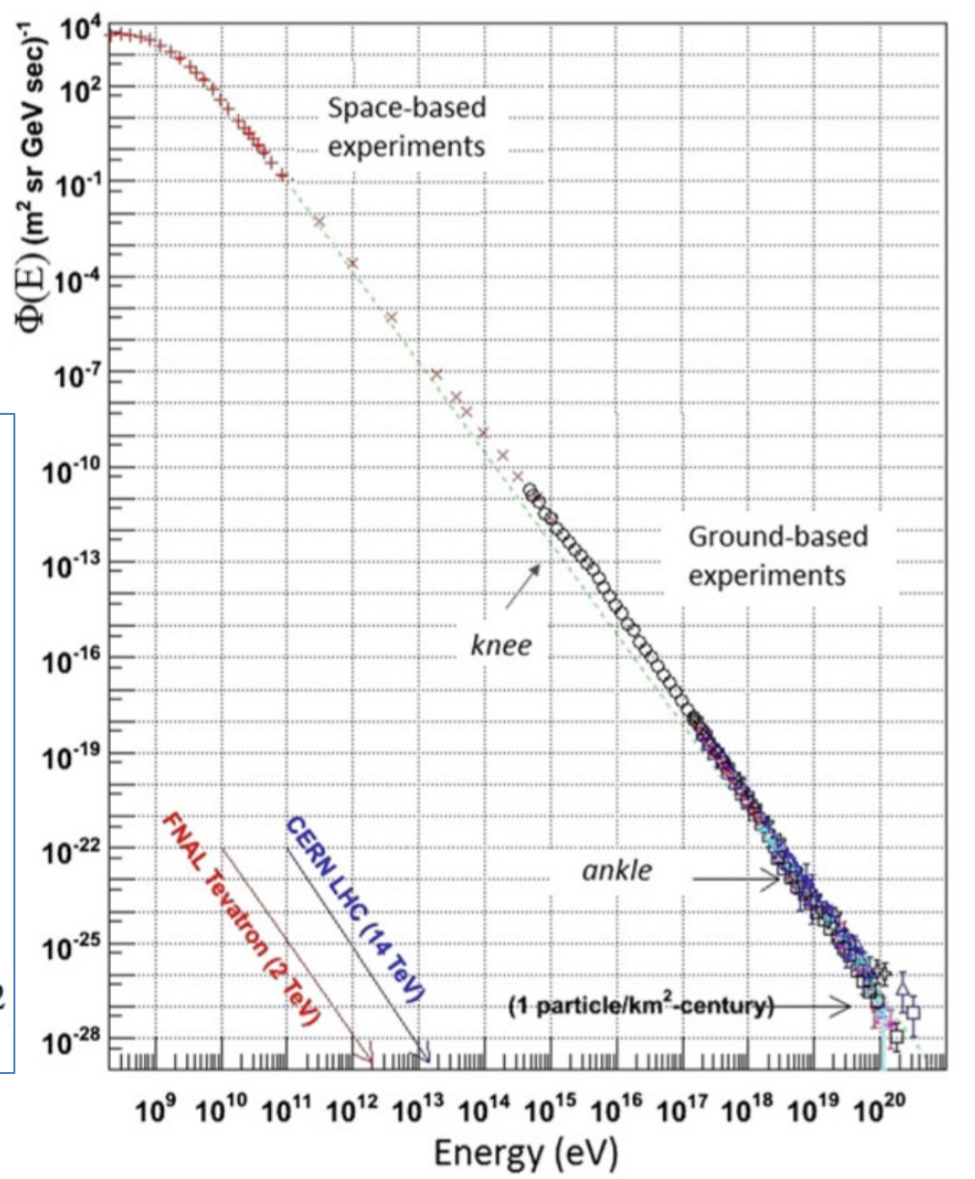
$$F(>E) = \pi \Phi(>E) \left[\frac{particelle}{cm^2 s}\right]$$

corresponding to different energy thresholds gives:

$$\mathscr{F}(>10^9 \text{ eV}) \simeq 1,000 \text{ particles/s m}^2$$

$$\mathscr{F}(>10^{15} \mathrm{eV}) \simeq 1 \mathrm{particle/year} \mathrm{m}^2$$

$$\mathscr{F}(>10^{20} \mathrm{eV}) \simeq 1 \mathrm{particle/century \ km}^2$$



Lo spettro energetico può essere descritto da una legge di potenza:

 $\Phi(E) = K \left(\frac{E}{1 \, GeV}\right)^{-\alpha} \left[\frac{particelle}{cm^2 \, sr \, s \, GeV}\right]$ 

K = fattore di normalizzazione

$$\Phi(>E) = \frac{K}{(\alpha - 1)} \left(\frac{E}{1 \, GeV}\right)^{-\alpha + 1} = \frac{K}{(\alpha - 1)} \left(\frac{E}{1 \, GeV}\right)^{-\gamma} \quad \left[\frac{particelle}{cm^2 \, sr \, s}\right]$$

 $\gamma = \alpha - 1$  indice spettrale integrale

Nel range di energia  $tra \sim 10^9$  e  $\sim 10^{15}$  eV a partire dai dati sperimentali è possibile trovare i valori di K e di  $\alpha$ :

 $K = 1.8 \text{ and } \alpha = 2.7$ 

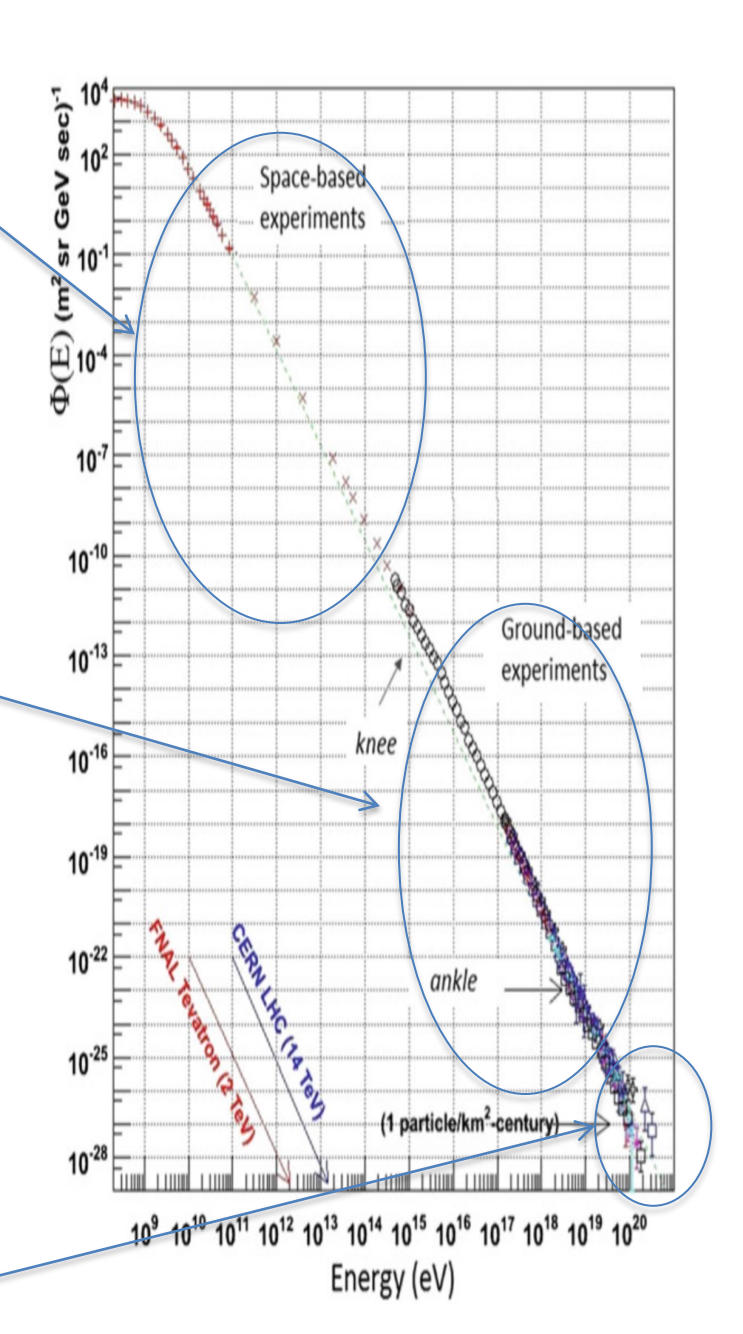
The integral CR flux decreases by a factor  $\sim$ 50 (i.e.  $10^{1.7}$ ) when the energy increases by an order of magnitude.

Al di <u>sopra di ~10<sup>15</sup> eV</u> l'indice spettrale dei raggi cosmici diventa :  $\alpha \sim 3.1$ 

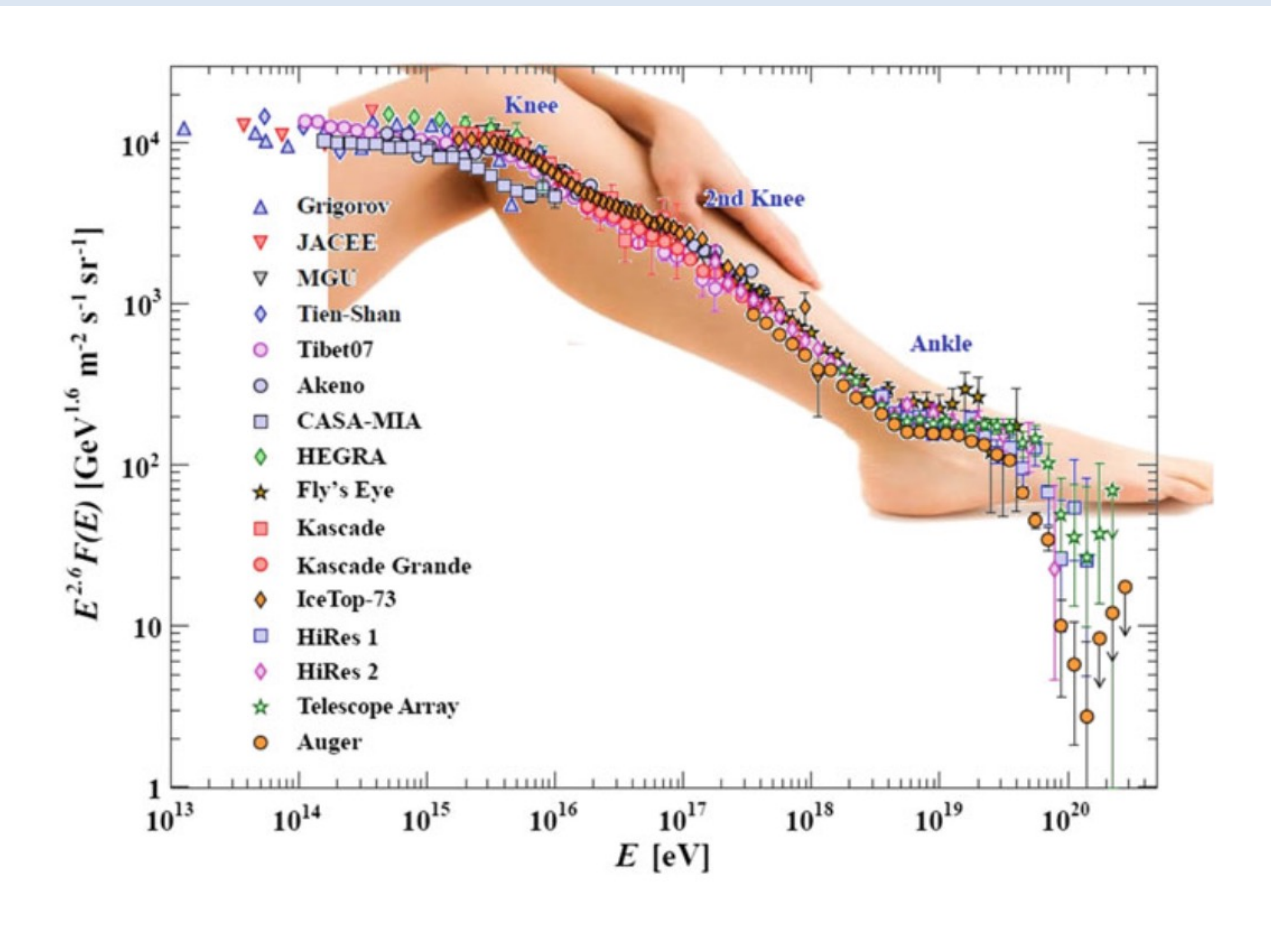
The CR flux decreases by a factor  $\sim$ 100 (i.e.  $10^{2.1}$ ) when the energy increases by an order of magnitude.

Al di <u>sopra di ~10<sup>18</sup> eV</u> lo spettro diventa nuovamente piatto  $\alpha \sim 2.7$  questo nuovo punto di transizione viene chiamata caviglia "the ankle".

I RC sopra la caviglia sono di origine extra-galattica (Science Settembre 2017)



# The differential CR flux $\Phi(E)$ as measured by many direct and indirect CR experiments.



#### Per evidenziare:

Moltiplicando in ordinata per E<sup>2.6</sup> le strutture del ginocchio (knee) e della caviglia (ankle) risultano più evidenti.

Inoltre risultano più evidenti anche le differenze tra I vari esperimenti dovuti alle incertezze sperimentali sull'energia di calibrazione.

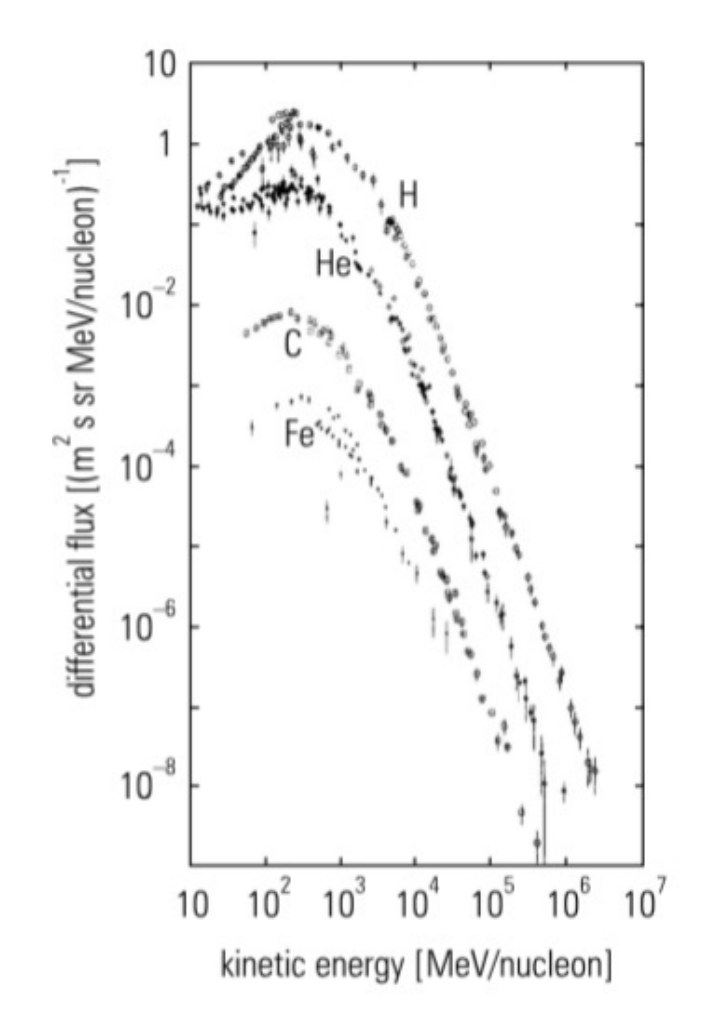
# **Energia per Nucleone**

energia per nucleone 
$$\left[\frac{GeV}{A}\right] = \frac{\text{energia per nucleo}\left[GeV\right]}{\text{numero di nucleoni}}$$

The **energy-per-nucleon** is the energy-per-nucleus, divided by the number of nucleons.

- The energy-per-nucleus is measured in [GeV],
- The energy-per-nucleon in [GeV/nucleon] or [GeV/A]

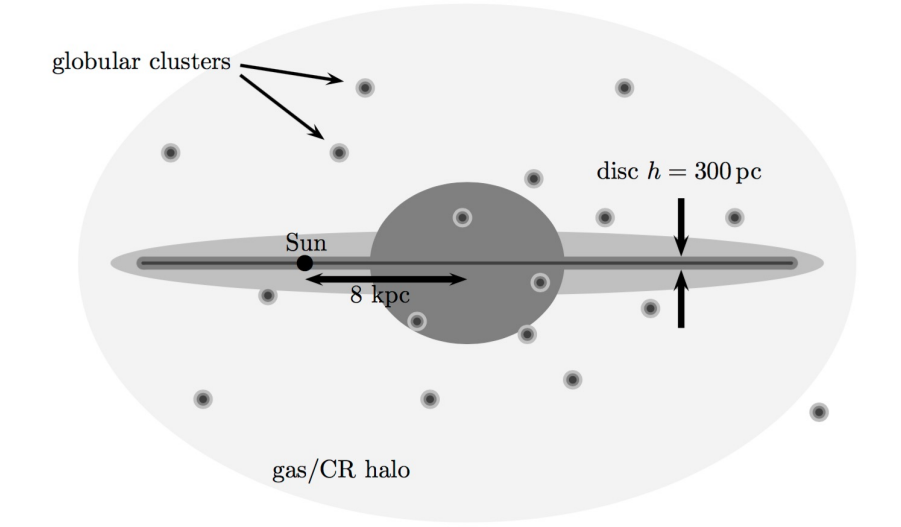
The energy-per-nucleon can be assessed **only** through **direct experiments**, (both E and  $Z \sim A/2$  are measured).



### Proprietà fisiche della Via Lattea

- Spessore ~200−300 pc
- Raggio ~15 kpc

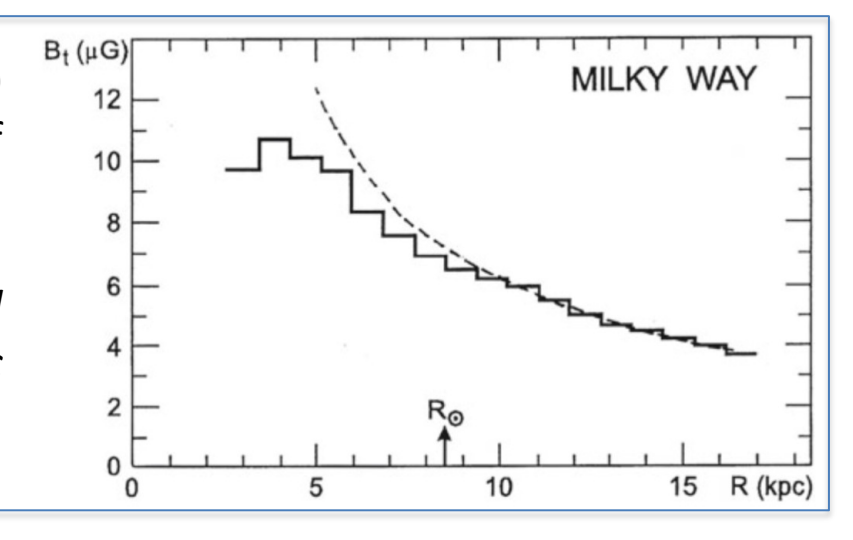
(Il Sole si trova a ~8.5 kpc dal centro)



Galactic volume: 
$$V_G = \left[\pi (15 \cdot 10^3)^2 \cdot 300\right] \cdot (3 \cdot 10^{18})^3 = 5 \cdot 10^{66} \ cm^3$$

Galactic magnetic field discovered in 1949 (light from the stars has a high degree of polarization).

The intensity of the galactic magnetic field depends on the distance from the galactic center. We assume approximately:  $\mathbf{B} \simeq \mathbf{4} \, \mu \mathbf{G}$ 



Forza di Lorentz esercitata da un campo magnetico B su di una particella con

- . carica q
- . massa m
- velocità c

$$\Gamma m \frac{dv}{dt} = \frac{q}{c} v \times B \qquad con \quad \Gamma = \frac{1}{\sqrt{1 - v^2/c^2}} = \frac{E}{mc^2}$$

Integrando:

$$v = r \times \frac{qB}{\Gamma mc}$$
Frequenza angolare:
$$\omega_L = \frac{qB}{\Gamma mc}$$

Il raggio dell'orbita r è detto "raggio ciclotrone" o Raggio di Larmor r<sub>L</sub>:

$$r_L = \frac{v}{\omega_L} = \frac{v \; \Gamma m \, c}{q \, B} = \frac{p \, c}{Ze \, B} \approx \frac{E}{Ze \, B}$$

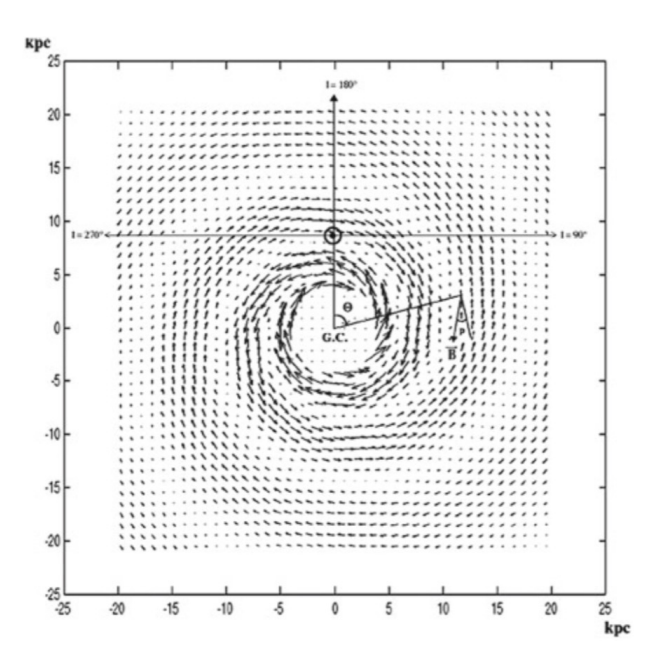
L'effetto del campo magnetico B sulla particella dipende dal <u>rapporto tra **momento** e carica</u> <u>elettrica</u>. Definiamo la <u>Rigidità</u> R come:

$$R \approx \frac{E}{Ze} = \frac{1.6 \cdot 10^{-12} (eV/erg) E(erg)}{4.8 \cdot 10^{-12} (statC)} = \frac{1}{300} E \quad [V]$$

#### Per la Galassia il Raggio di Larmor r<sub>L</sub> per i protoni è:

$$r_L(E = 10^{12} eV) \approx 10^{15} cm = 3 \cdot 10^{-4} pc$$
  
 $r_L(E = 10^{15} eV) \approx 10^{18} cm = 0.3 pc$   
 $r_L(E = 10^{18} eV) \approx 10^{21} cm = 300 pc$ 

- Spessore ~200–300 pc
- Raggio ∼15 kpc



Particelle con energia E<10<sup>18</sup> eV sono fortemente confinate all'interno del volume galattico dal campo magnetico galattico.

## InterStellar Matter (ISM)

Solo una piccola frazione dello spazio ( $\sim$ 4×10<sup>-23</sup>) è occupato da materia sotto forma di stelle.

Il rimanente è riempito da:

- gas (≈ 99%) (molecole, atomi, ioni)
- polveri (≈ 1%) (particelle solide sottili)



l'InterStellar Matter rappresenta il 5–10% della massa totale della Galassia.

$$n_{ISM} \approx 1 \frac{protone}{cm^3} = 1.6 \cdot 10^{-24} \frac{g}{cm^3}$$

## Densità Numerica e Densità di Energia dei RC

Ricordando che la densità numerica delle particelle  $n_{CR}$  è:  $n = \frac{4\pi}{v} \Phi(>E)$   $\left[\frac{particelle}{cm^3}\right]$ 

e 
$$\Phi(>E) = \frac{K}{(\alpha - 1)} \left( \frac{E}{1 \, GeV} \right)^{-\gamma} \quad \left[ \frac{particelle}{cm^2 \, sr \, s} \right]$$

ponendo v=c (essendo particelle ultrarelativistiche)

si ottiene: 
$$n_{CR} = \frac{4\pi}{c} \phi(>E_0) = \frac{4\pi}{3 \cdot 10^{10}} \frac{K}{(\alpha - 1)} E_0^{-\gamma}$$

Introducendo i valori di K e  $\alpha$  per valori di  $E_0 \approx 1$  GeV si ha:

$$n_{CR} \approx 1 \cdot 10^{-10} \ cm^{-3}$$

#### Calcoliamo ora la densità di energia (cinetica) p<sub>RC</sub>:

Integrando il flusso definito precedentemente come 
$$\Phi(E) = K \left( \frac{E}{1 \, GeV} \right)^{-\alpha} \left[ \frac{particelle}{cm^2 \, sr \, s \, GeV} \right]$$

si ha:

$$\rho_{CR} = \frac{1}{c} \int_{E_0}^{\infty} E \frac{d^2 \varphi}{dE \ d\Omega} dE \ d\Omega \quad \left[ \frac{GeV}{cm^3} \right]$$

da cui si ottiene il valore

$$\rho_{CR} \approx 1 \quad \left[ \frac{eV}{cm^3} \right]$$

#### Confronto con altri contributi:

Cosmic Ray 
$$n_{CR} \approx 1 \cdot 10^{-10} \ cm^{-3}$$
  $\rho_{CR} \approx 1 \ \left[ \frac{eV}{cm^3} \right]$ 

Cosmic Microwave Background  $n_{\gamma_{CMB}} \approx 400 \ cm^{-3}$   $\rho_{\gamma_{CMB}} \approx 0.3 \ \left[ \frac{eV}{cm^3} \right]$ 

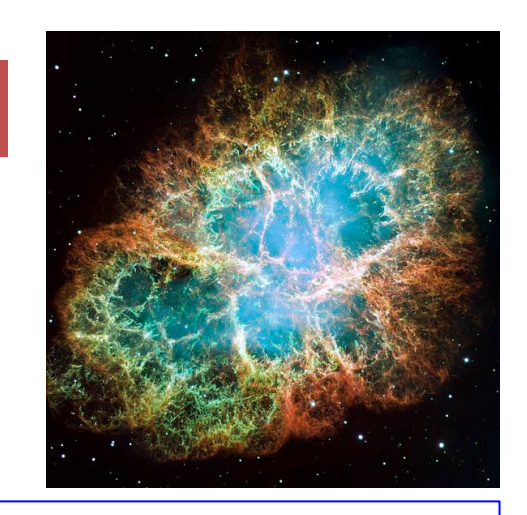
Starlight  $n_{\gamma_{vis}} \approx 2 \cdot 10^{-2} \ cm^{-3}$   $\rho_{\gamma_{vis}} \approx 4 \cdot 10^{-2} \ \left[ \frac{eV}{cm^3} \right]$ 

Interstellar Magnetic Field  $\rho_{B} \approx 1 \ \left[ \frac{eV}{cm^3} \right]$ 

ρ<sub>CR</sub>≈ 1 eV/cm³ rappresenta un valore di densità di energia importante

# Considerazioni energetiche sulle sorgenti dei RC

Nel 1934 Baade and Zwicky ipotizzarono che le *Supernova Remnants (SNR)* fossero gli oggetti galattici responsabili delle creazione e accelerazione dei RC con energie fino al ginocchio.



#### **Motivazione**: **equilibrio** tra

- la <u>perdita dei RC</u> dovuta alla loro fuga dalla Galassia;
- l'<u>energia fornita</u> dalle onde d'urto delle SN.
- Le sorgenti di RC sono uniformemente distribuite nella Galassia
- i RC sono intrappolati dai campi magnetici della Galassia

#### L'energia (cinetica) totale dei RC è:

Energia Totale = 
$$\rho_{CR} \cdot V_{Galaxy} = 1 \frac{eV}{cm^3} \cdot 5 \cdot 10^{66} \ cm^3 = 5 \cdot 10^{66} \ eV = 8 \cdot 10^{54} \ erg$$

#### **INCREMENTO DEI RC**

Ogni esplosione di SN contribuisce ad incrementare la densità dei RC galattici  $\rho_{CR}$ .

Se i RC fossero completamente confinati nel volume galattico il loro numero dovrebbe incrementare col passare del tempo

#### **DECREMENTO DEI RC**

Un effetto che induce un decremento della <u>densità dei RC galattici  $\rho_{CR}$ </u> è dato dalla fuga dei RC dalla Galassia i quali "scappano" con un tempo caratteristico detto *escape time* (o *confinement time*)  $\tau_{esc}$ .

#### L'escape time $\tau_{esc}$

può essere calcolato in due diversi modi che vedremo più avanti. Anticipando i risultati il suo valore è di:

$$\tau_{esc} \approx 10^7 y = 3 \cdot 10^{14} s$$

#### Nota:

Come vedremo più avanti l'escape time  $\tau_{esc}$  è misurato

- dal rapporto secondari/primari e anche
- con i radionuclidi.

Risulta pertanto che il **Rate di Perdita di Energia** (*"energy loss rate"*) P<sub>CR</sub> dovuto alla fuga dei RC dal volume galattico è:

$$P_{CR} \approx \frac{\rho_{CR} \cdot V_{Galaxy}}{\tau_{esc}} = \frac{8 \cdot 10^{54}}{3 \cdot 10^{14}} = 3 \cdot 10^{40} \quad \left[\frac{erg}{s}\right]$$

L'esplosione di una SuperNovae di 10 masse solari rilascia circa 10<sup>53</sup> erg

- 99 % sottoforma di neutrini
- 1% come energia cinetica delle particelle che si espandono shock wave)

Il tasso di esplosioni di SN in una galassia come la Via Lattea è di circa 3 ogni secolo: supernova rate  $f_{SN} \sim 10^{-9} \, \text{s}^{-1}$ 

Se un <u>processo fisico capace di accelerare particelle cariche</u> esiste esso trasferisce energia da energia cinetica dell'onda d'urto ai Raggi Cosmici con una efficienza n:

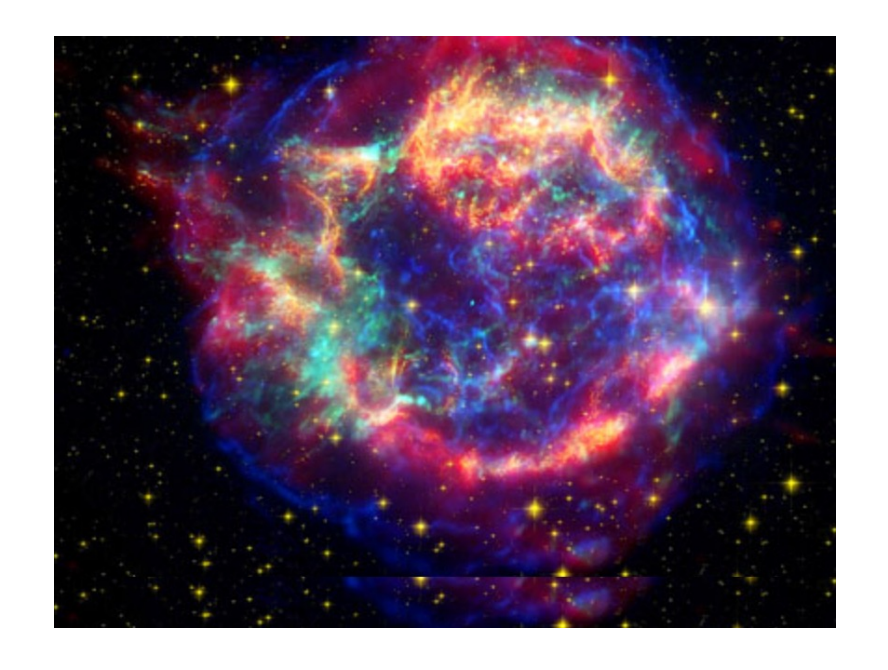
$$P_{SN} \approx \eta \cdot f_{SN} \cdot 10^{51} = \eta \cdot 10^{42} \quad \left[ \frac{erg}{s} \right]$$

Se si vuole che  $P_{CR} = P_{SN}$ , ossia non vi sia ne aumento ne decremento della densità dei RC è sufficiente che <u>n sia dell'ordine dell' 1 %</u>.

$$P_{CR} = P_{SN} \implies 3.10^{40} \quad \left[\frac{erg}{s}\right] = \eta.10^{42} \quad \left[\frac{erg}{s}\right] \implies \eta \approx 1\%$$

Questa condizione fa si che il modello delle SN è energeticamente compatibile con le osservazioni.

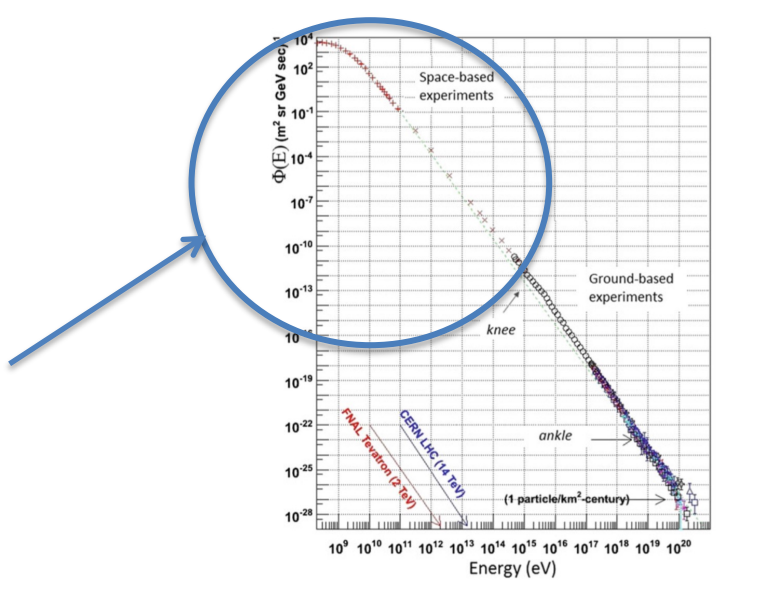
Un meccanismo in grado di <u>trasferire</u> <u>l'energia cinetica di una SN in RC</u> con efficienza di qualche % fu proposto da Fermi nel 1949. **Fermi Acceleration Mechanism** (detto anche *diffusive shock acceleration*)



# Rivelazione Diretta dei Raggi Cosmici

**Direct Cosmic Rays Detection:** 

La **composizione chimica dei RC** può essere accuratamente misurata attraverso <u>esperimenti su</u> <u>satelliti e palloni</u> (negligible residual atmospheric depth)



Le evidenze sperimentali indicano che la Galassia è costituita da materia. Le *anti-particelle* sono create come particelle secondarie dalle interazione dei RC con il mezzo interstellare.

I rivelatori a bordo di satelliti e palloni sono in grado di identificare i RC individualmente e separare i diversi isotopi misurando contemporaneamente Energia, Carica e Massa (E,Z,A) tramite misure del tempo di volo (ToF) e/o misure calorimetriche dE/dx, in cui l'energia cinetica è convertita in una cascata di particelle secondarie (SCIAME)





# Lunghezza di Interazione λ e Lunghezza di Radiazione X<sub>0</sub>

Introduciamo i concetti

Lunghezza di Interazione Adronica (o Nucleare): λ

e

Lunghezza di Radiazione (Elettromagnetica): X<sub>0</sub>

che ci saranno utili

- sia ora per tecniche calorimetriche utilizzate negli esperimenti a bordo di satelliti e palloni
- sia per la trattazione degli <u>sciami in atmosfera</u> per la rivelazione di RC di più alta energia (misure indirette)

Un RC interagendo con un nucleo produce una grande quantità di adroni secondari

$$RC + air \rightarrow \pi^{\pm}, \pi^{0}, k^{\pm}, k^{0}, p, n$$

Questi adroni secondari depositano energia attraverso ionizzazione/eccitazione nel mezzo attraverso interazioni successive generando una cascata adronica.

I mesoni neutri (principalmente  $\pi^0$ ) decadono producendo γ che convertono in e<sup>+</sup>/e<sup>-</sup>.

Gli e<sup>+</sup>/e<sup>-</sup>creano γ per bremsstrahlung e via di seguito ....... generando una cascata elettromagnetica.

# **Lunghezza di Interazione Adronica (o Nucleare): λ**

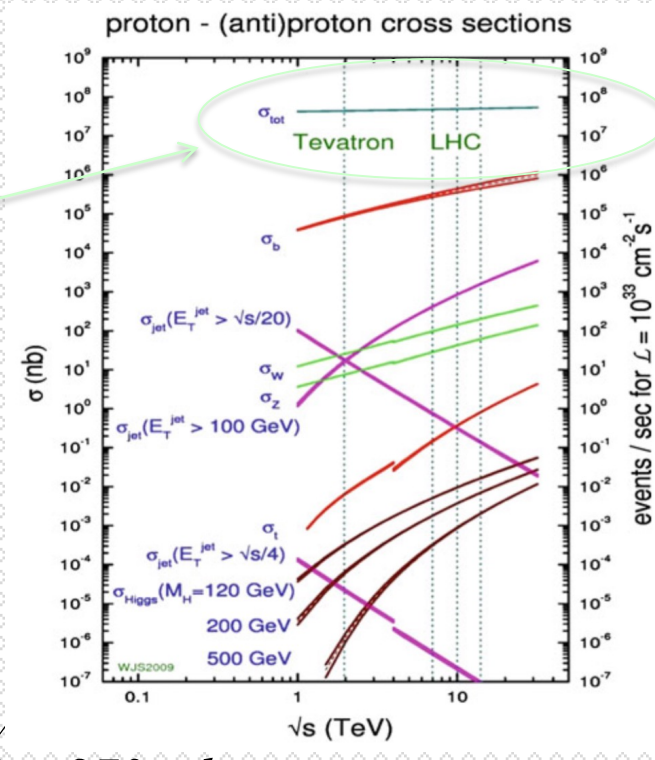
$$\lambda = \frac{1}{n \cdot \sigma} \quad \left[ cm \right]$$

è conveniente inglobare la <mark>densità ρ</mark>

$$\lambda_I = \frac{\rho}{n \cdot \sigma} = \frac{A \cdot m_p}{\sigma} \quad \left[ \frac{g}{cm^2} \right]$$

$$\sigma_{p-p} = 45 \quad [mb]$$

$$\sigma_{p-N} = \sigma_{p-p} \cdot A^{2/3}$$



Atmosfera: A≈14.5

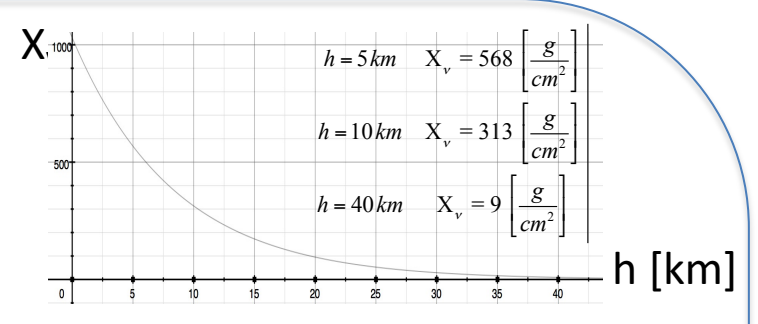
$$\sigma_{p-air} = \sigma_{p-p} \cdot A^{\frac{2}{3}} \approx 45 \cdot 14.5^{\frac{2}{3}} \approx 270 \ mb$$

Lunghezza di Interazione dei **protoni** in **atmosfera** 

$$\lambda_I^p = \frac{\rho}{n \cdot \sigma} = \frac{A \cdot m_p}{\sigma} \approx \frac{14.5 \cdot 1.6 \cdot 10^{-24}}{0.27 \cdot 10^{-24}} \approx 85 \quad \left[\frac{g}{cm^2}\right]$$

# L'Atmosfera

L'Atmosfera in prima approssimazione può essere considerata come un gas isotermico con T(h) = const.



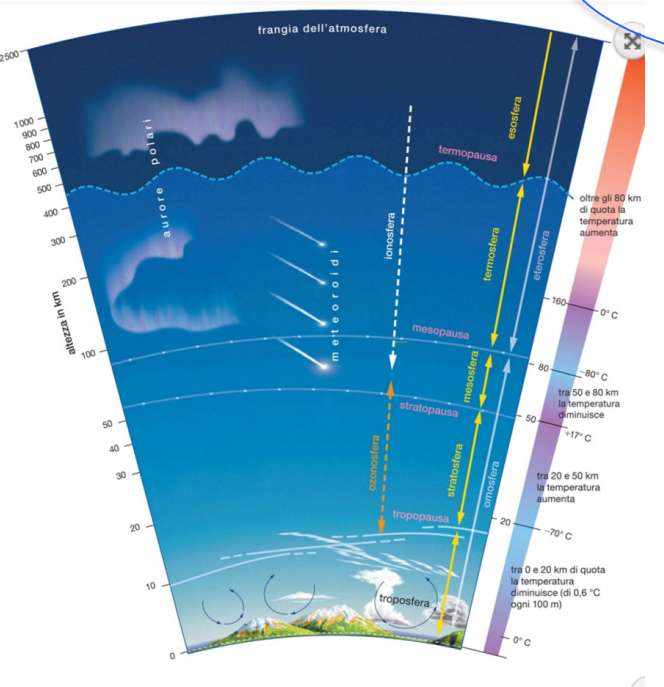
(vertical) atmospheric depth:

$$X_{v} = X_{v}^{atm} e^{-\frac{h}{h_{0}}}$$

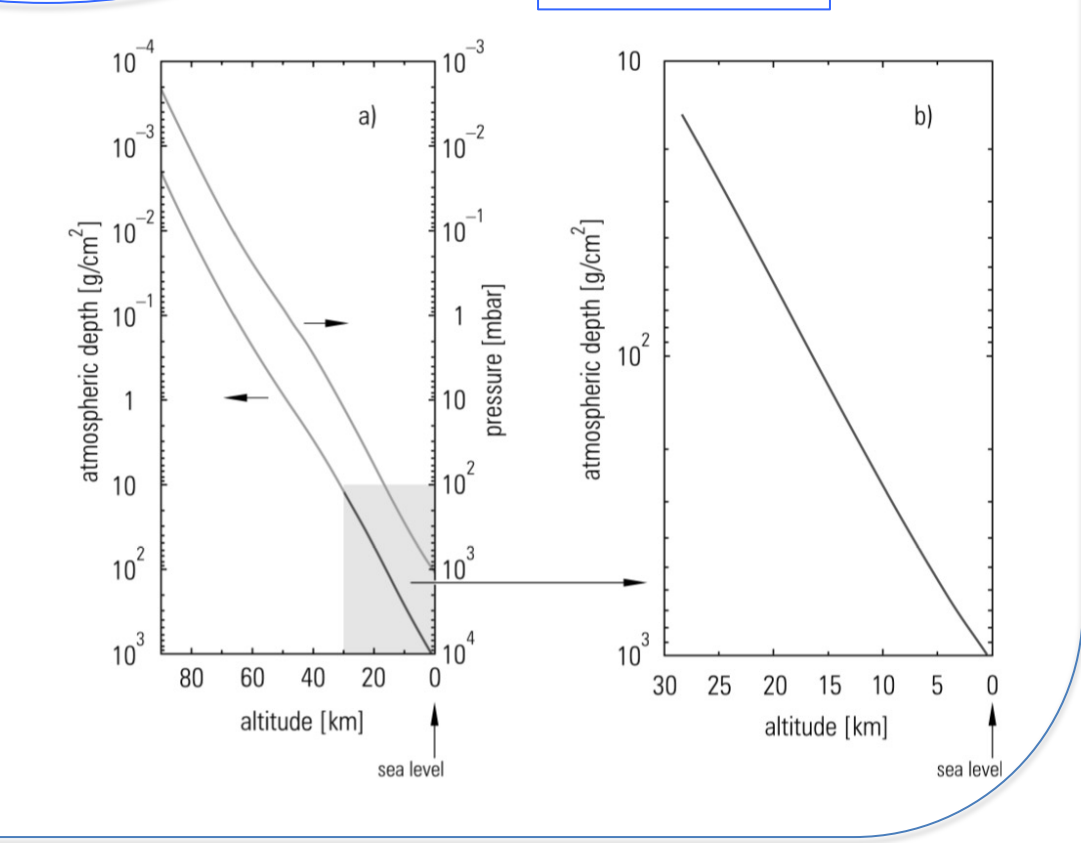
$$X_{\nu}^{atm} =$$

$$\left(X_{v}^{atm} = 1030 \frac{g}{cm^{2}} \quad h_{0} = \frac{kT}{Mg} \approx 8.4 \text{ km}\right)$$

≈ 10 metri di acqua



For horizontal directions, the slant depth corresponds about  $X(\theta = 90^{\circ}) = 36000 \text{ g cm}^{-2}$ .



Atmosfera: Vertical thickness = 1030 g/cm<sup>2</sup>

Numero di lunghezze di interazioni nell'atmosfera:

$$\frac{1030 \frac{g}{cm^2}}{85 \frac{g}{cm^2}} \approx 12$$

Per I **nuclei di Ferro**, essendo  $\sigma_{Fe} \approx \pi \cdot r_0^2 (A_{Fe}^{\frac{2}{3}} + A_{Atm}^{\frac{2}{3}})$ 

si ottiene: 
$$\frac{\sigma_{Fe}}{\sigma_p} = \frac{\pi \cdot r_0^2 (A_{Fe}^{\frac{2}{3}} + A_{Atm}^{\frac{2}{3}})}{\pi \cdot r_0^2 A_{Atm}^{\frac{2}{3}}} = 3.5$$

quindi:

Lunghezza di Interazione dei **ferri** in **atmosfera**  $\lambda_I^{Fe} = \frac{85}{3.5} \approx 24 \quad \left[ \frac{g}{cm^2} \right]$ 

Una conseguenza del modello adronico a quark\* e che la sezione d'urto per i pioni secondari è  $\sigma_{\pi} \simeq 2/3 \ \sigma_{p}$ 

(\*i pioni hanno 2 quarks mentre i protoni hanno 3 quarks)

Di conseguenza la lunghezza di interazione dei pioni secondari in atmosfera è:

$$\lambda_I^{\pi} = 120 \qquad \frac{g}{cm^2}$$

## Lunghezza di Radiazione (Elettromagnetica): X<sub>0</sub>

Fornisce la probabilità affinché avvenga un irraggiamento ed una formazione di coppie

$$-\frac{dE}{dX}\bigg|_{bremst} \approx \frac{E}{X_0}$$

Per gli **elettroni** X<sub>0</sub> è il cammino necessario affinché l'energia si riduce ad 1/e

$$\frac{1}{X_0} \cong \frac{4 \alpha N_A \rho r_e^2}{A} \ln \frac{187}{Z^{\frac{1}{3}}}$$

Per i **fotoni**  $X_0$  è lo spessore entro cui la materializzazione  $e^+/e^$ ha probabilità  $P = 1 - e^{-7/9} = 54\%$ 

#### In Atmosfera:

Lunghezza di Radiazione in atmosfera

$$X_0^{air} = 37 \quad \left[ \frac{g}{cm^2} \right]$$

Numero di lunghezze di radiazione nell'atmosfera:

$$\frac{1030 \frac{g}{cm^2}}{37 \frac{g}{cm^2}} \approx 28$$

# **Balloon Experiments**

Scientific balloons are made of 20  $\mu m$  thick polyethylene film with a diameter of about 140 m filled with helium gas and fly at altitudes up to 42 km.

Payloads up to 3,600 kg attached to a parachute. The flights are terminated by remotely firing an

explosive squib that separates the payload from the balloon.

In the early 1990s, successful long flights (1–2 weeks) around Antarctica.

From 2005 to 2010, the <u>cosmic ray energetics and mass</u> (**CREAM**) payload flew six times, for a cumulative exposure of 162 days.



Major improvement was the use of superconducting magnet spectrometers.

- Balloon Experiment with a superconducting Solenoid Spectrometer (BESS),
- <u>Cosmic AntiParticle Ring-Imaging Cherenkov Experiment</u> (CAPRICE),
- High-Energy Antimatter Telescope (HEAT).

Pioneering calorimeters using <u>emulsions</u> for measurements of CRs above 2 TeV (*limited charge resolution and measured groups of nuclei with close electric charge*) were:

- Japanese-American Collaborative Emulsion Experiment (JACEE),
- RUssian-Nippon JOint Balloon Experiment (RUNJOB).

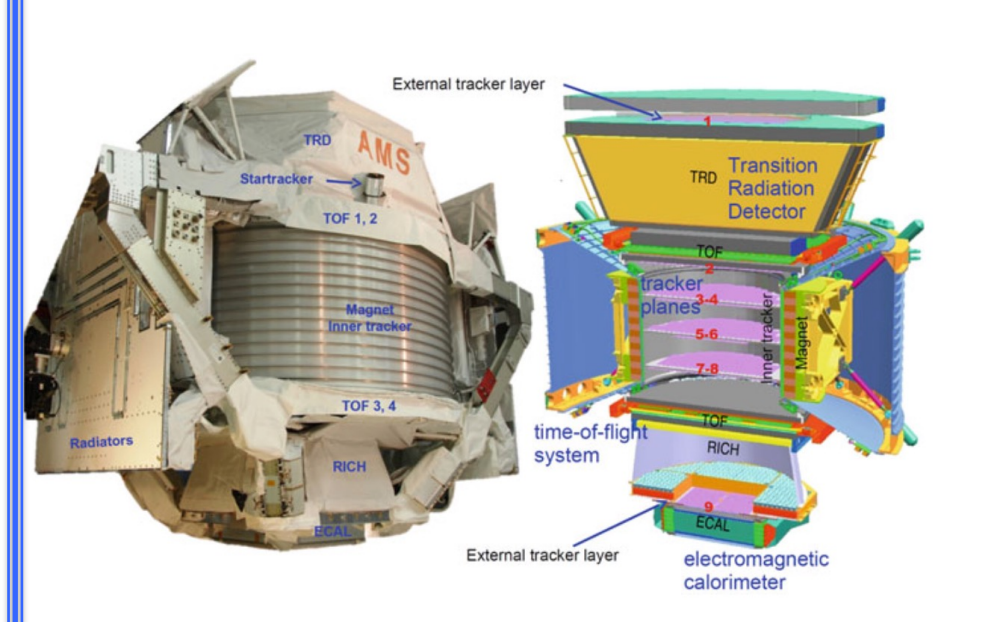
The <u>Transition Radiation Array</u> for Cosmic Energetic Radiation (TRACER) experiment extended the flux measurements of heavy nuclei to higher energies

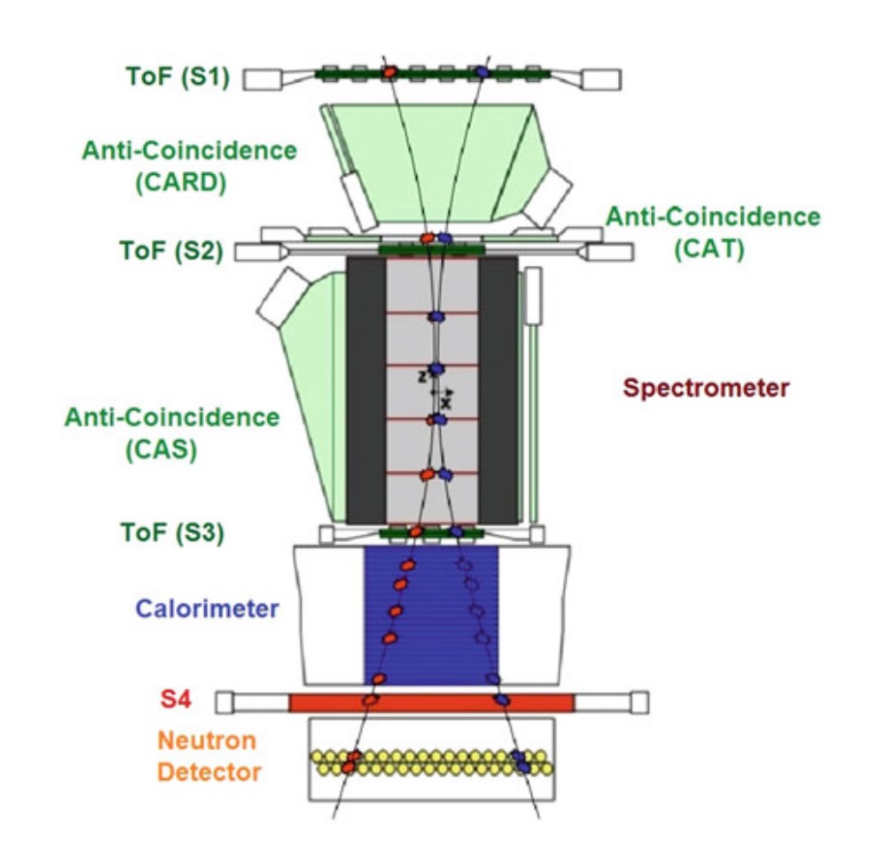
(two layers of plastic scintillators (2  $\times$  2 $m^2$ ) which measured the electric charge, and a TRD).

### **Satellite Experiments**

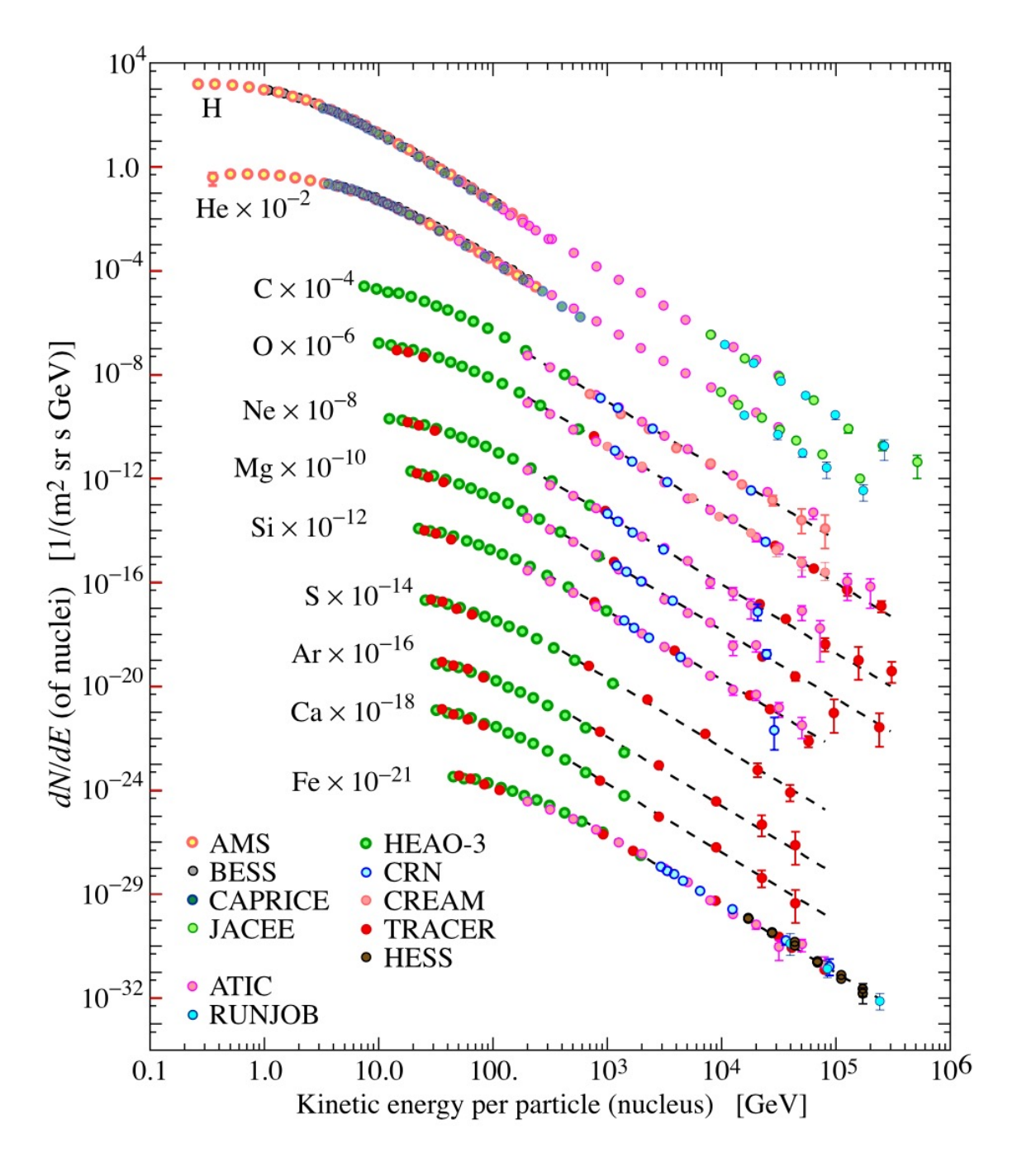
The <u>Payload for Antimatter Matter Exploration</u> and <u>Light-nuclei Astrophysics</u> (<u>PAMELA</u>) mainly devoted to antimatter studies.

launched in June 2006 from the Baikonur cosmodrome in Kazakhstan.





The <u>Alpha Magnetic Spectrometer</u> (**AMS**) is the largest particle physics detector ever carried outside the atmosphere. It was designed to operate as an external module on the International Space Station (ISS).



### Abbondanze degli elementi nel Sistema Solare (SS) e nei Raggi Cosmici (CRs)

<u>Tutti gli elementi</u> della tavola periodica <u>sono</u> <u>presenti</u> sia nei <u>Raggi Cosmici</u> che nel <u>Sistema</u> <u>Solare</u>

Notevole <u>somiglianza</u> tra le abbondanze misurate dei Raggi Cosmici e trovate nel <u>Sistema Solare</u>



Possiamo concludere che la <u>materia da cui</u> provengono i RC è la stessa del sistema solare e questo comporta che plausibilmente questa materia è stata originata dallo <u>stesso meccanismo</u> che ha originato il Sole e i suoi pianeti.

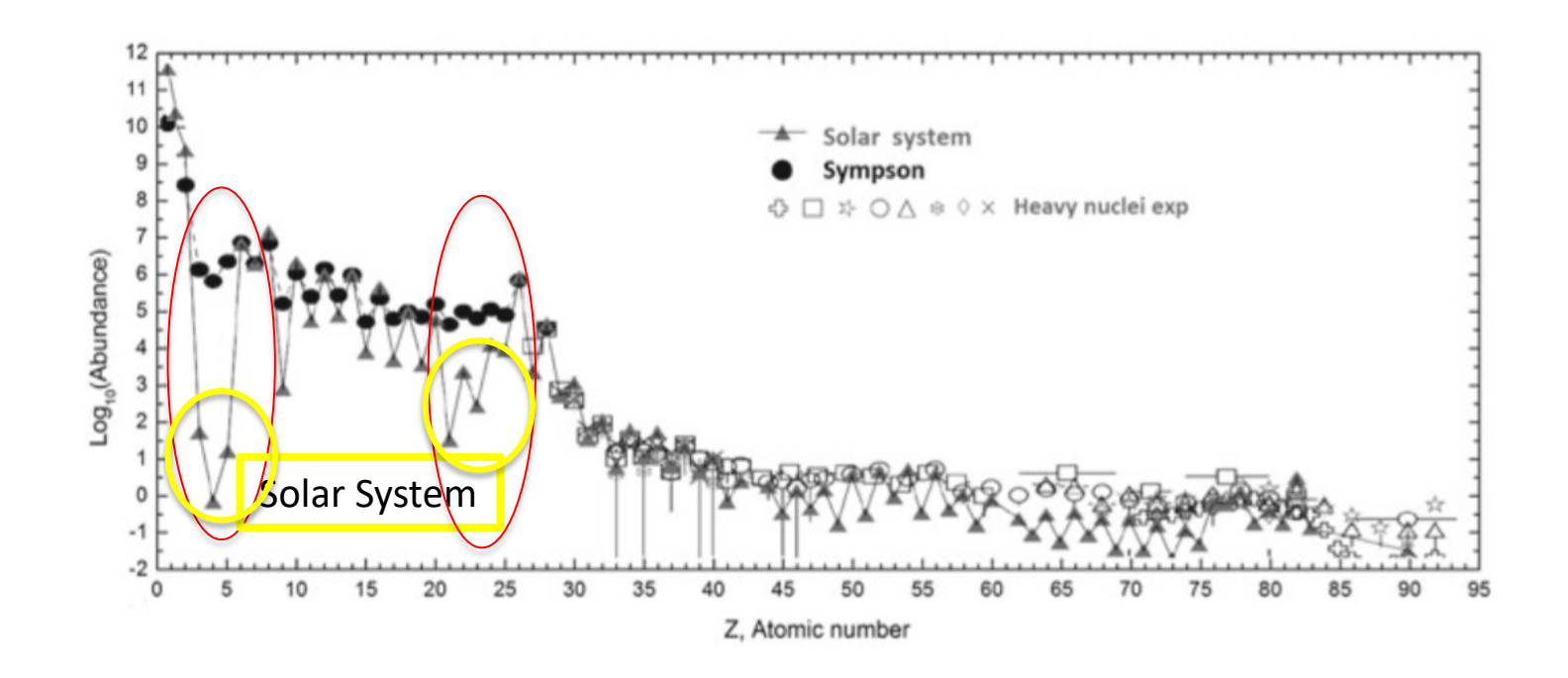
I RC costituiscono un campione di materia extra-sistema solare e contiene <u>elementi</u> estremamente rari difficili da osservare *spettroscopicamente* dalle linee delle stelle.

Grazie ai RC è anche possibile ottenere importanti informazioni sull'evoluzione chimica dell'Universo,

**Table 3.3** Composition of the different CR components

Element $(Z)$	Group Z	R.A.	R.A.	Number of p	articles
		$E_T > 2.5$	$E_T > 10.6$	per 100	Si
		GeV	GeV/n	CRs	SS
H (1)		26000	540	$1.9 \times 10^{5}$	$2.93 \times 10^{6}$
He (2)		3600	26	$2.63 \times 10^{4}$	$2.47 \times 10^{5}$
Li (3		18	0.121	130	$5.6 \times 10^{-3}$
Be (4)	£	10.5	0.09	76	$6.1 \times 10^{-5}$
B (5)		28	0.19	202	$1.9 \times 10^{-3}$
C (6)		100	0.99	720	$7.2 \times 10^{2}$
N (7)	M	25	0.22	180	$2.1 \times 10^{2}$
O(8)		91	1	655	$1.6 \times 10^{3}$
F (9)		1.7	0.015	12	$8.0 \times 10^{-2}$
Ne (10)		16	0.152	115	330
Na (11)		2.7	0.026	20	5.8
Mg (12)		19	0.197	137	103
Al (13)		2.8	0.031	20	8.5
Si (14)		14	0.163	100	100
P (15)	$\mathscr{H}$	0.6	0.005	4.3	0.8
S (16)		3	0.030	22	42
Cl (17)		0.5	0.005	3.6	0.5
Ar (18)		1.5	0.009	11	9.3
K (19)		0.8	0.006	5.7	0.4
Ca (20)		2.2	0.018	15.8	6.0
Sc (21)		0.4	0.003	2.9	$3.4 \times 10^{-3}$
Ti (22)		1.7	0.010	12.2	0.25
V (23)		0.7	0.005	5.0	$2.9 \times x10^{-2}$
Cr (24)	V H	1.5	0.011	10.8	1.3
Mn (25)		0.9	0.009	6.5	0.9
Fe (16)		10.8	0.110	78	84.8
Co (27)		<0.2	$4 \times 10^{-4}$	_	0.23
Ni (28)		0.4	0.007	2.9	4.9
(29–30)		_	-	_	0.2
(>30)	U H	$5 \times 10^{-3}$	_	0.02	0.02
(-1)	e <sup>-</sup>	260	5	$3 \times 10^{4}$	$2.93 \times 10^{6}$

The relative abundances (R.A.) measured with different methods and energy thresholds are reported in column 3 (Grieder 2001) and 4 (Engelmann et al. 1990). The corresponding relative CR abundances (column 5) are compared with that of the solar system (SS, column 6) (Lodders et al. 2009). The last two columns are arbitrary normalized to 100 for Si



#### **SIMILARITA':**

I due campioni (abbondanze nei RC e SS) mostrano una grossa similarità che nella più parte dei casi è entro il 20%

#### **DIFFERENZA:**

Non di meno esiste una grande differenza tra I due campioni. Il più rilevante è la sovrabbondanza di Li, Be, B nei RC rispetto al SS.

Il rapporto delle abbondanze (Li + Be + B)/(C + N + O) nei RC rispetto al SS è  $\sim 10^5$ .

Questa <u>differenza</u> è interpretata come <u>dovuta alla *propagazione*</u> dei Raggi Cosmici nella Galassia :

- Carbonio, Azoto e Ossigeno (CNO) sono considerati Raggi Cosmici Primari, che sono prodotti e accelerati dalle sorgenti astrofisiche.
- Litio, Berillio e Boro (LiBeB) sono prodotti come Raggi Cosmici Secondari dalla frammentazione degli elementi CNO con il l'Interstellar Medium.

RC Primari + Interstellar Medium ⇒ RC Secondari

#### Measurement of escape time $\tau_{esc}$

As the spallation cross-section of the relevant nuclei is known at GeV energies, <u>the</u> ratio of secondary to primary cosmic rays are used to infer the average <u>escape</u> time  $\tau_{esc}$  of CRs in the Galaxy.

In addition to stable isotopes, CRs contain long-lived radioactive nuclides, mostly of secondary origin. The observed abundances of these isotopes can be used for establishing various time scales related to the origin of CRs. In particular, secondary isotopes which decay through  $\beta^{\pm}$  emission have been used as a second method to measure the escape time  $\tau_{\rm esc}$ .

Lo tratteremo più avanti

## Rivelazione Indiretta dei Raggi Cosmici

Abbiamo visto che per energie superiori ai **10**<sup>14-15</sup> **eV** il flusso dei RC è ridotto a circa **1 particella per m² all'anno**. Non è pertanto possibile raccogliere sufficiente statistica con rivelatori posizionati ad alta quota come fatto precedentemente.

$$\mathscr{F}(>10^9 \text{ eV}) \simeq 1,000 \text{ particles/s m}^2$$
  
 $\mathscr{F}(>10^{15} \text{eV}) \simeq 1 \text{particle/year m}^2$   
 $\mathscr{F}(>10^{20} \text{eV}) \simeq 1 \text{particle/century km}^2$ 

#### Atmosfera come un calorimetro

Vedremo come è possibile sfruttare l'<u>atmosfera come un calorimetro</u>, e come, studiando gli sciami generati in esse dall'interazione dei RC (EAS), sia possibile risalire alla natura e alle caratteristiche dei RC che li hanno prodotti.

Discuteremo ora degli EAS rimandando più avanti le tecniche di rivelazione (e pertanto le metodologie attraverso le quali è possibile dallo studio degli EAS risalire alle caratteristiche dei RC)

### Particle Showers in the Atmosphere

Y-rays - High energy **primary γ-rays** induce an almost pure EM cascade

 protons or nuclei - Cascades initiated by primary CR protons or nuclei have <u>additional features</u>.

#### The Electromagnetic (EM) Cascade

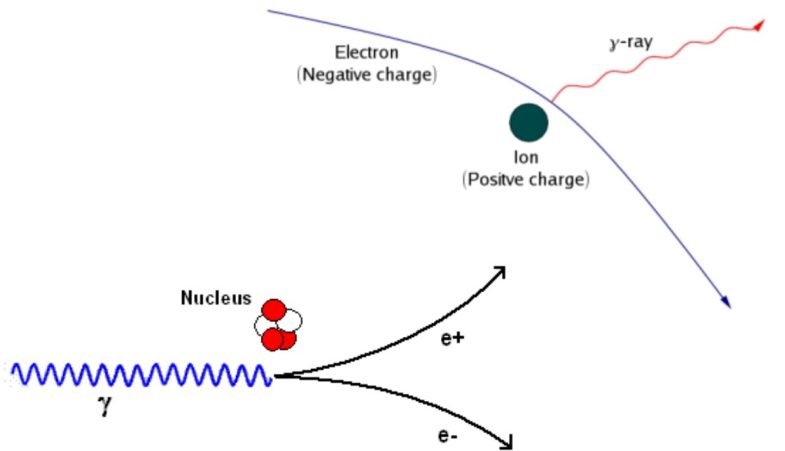
The EM showers containing only  $e^+e^-$  and  $\gamma$ -rays and are initiated by photons or electrons

#### EM showers are governed mainly by

- (i) bremsstrahlung of electrons and positrons
- (ii) pair production by photons.

#### The **radiation length**, **X**<sub>0</sub>, is defined as:

- (a) the mean free path of a high-energy <u>electron</u>, corresponding to the distance over which it loses all but 1/e of its energy by <u>bremsstrahlung</u>
- (a) 7/9 of the mean free path for <u>pair production</u> by a <u>high-energy photon</u>. (The factor 7/9 arises from QED arguments).



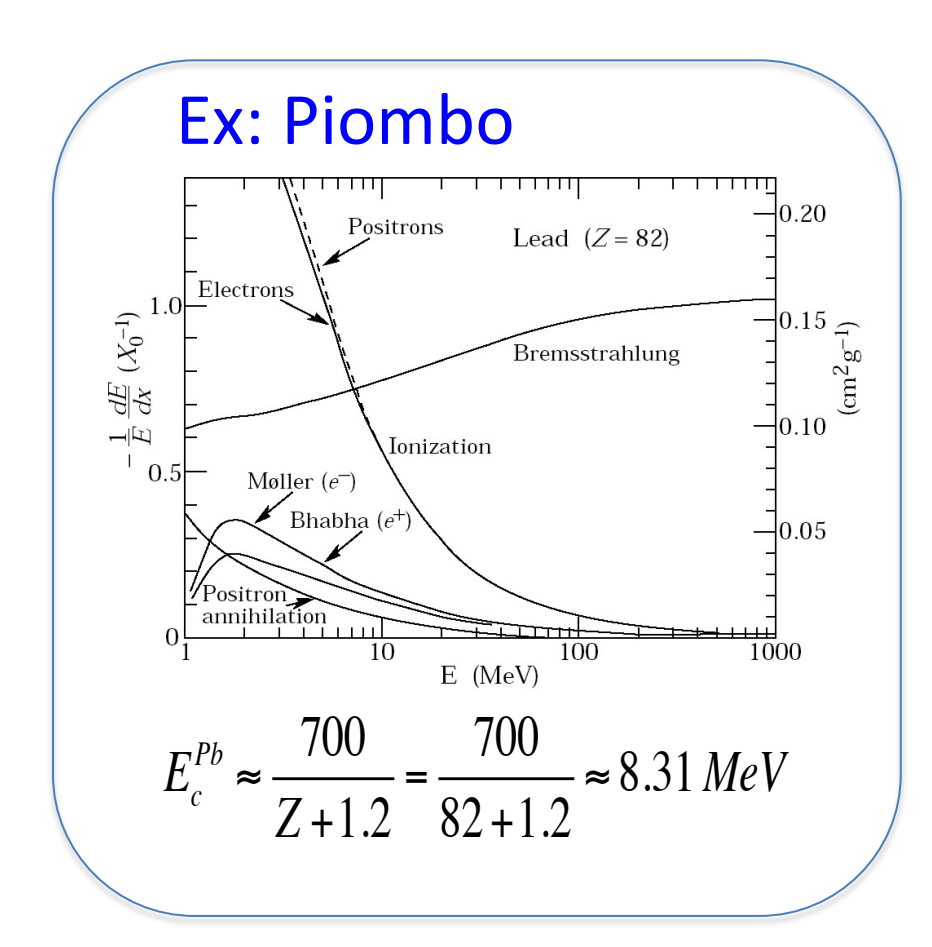
$$\begin{split} \frac{dE}{dx} &= 4\alpha N_A \ \frac{Z^2}{A} r_e^2 \cdot E \ \ln \frac{183}{Z^{\frac{1}{3}}} \\ \frac{dE}{dx} &= \frac{E}{X_0} \qquad \text{with} \quad X_0 = \frac{A}{4\alpha N_A \ Z^2 r_e^2 \ \ln \frac{183}{Z^{\frac{1}{3}}}} \end{split}$$
 [Radiation length in g/cm²]

$$\left. - \frac{dE}{dX} \right|_{bremstr} \approx - \frac{dE}{dX} \right|_{pair\_production} \approx \frac{E}{X_0}$$

The bremsstrahlung (dominant for  $E > E_c$ ) and the excitation/ionization energy loss (dominant for  $E < E_c$ ) are competing processes in showers.

#### E<sub>c</sub> Energia critica

$$\frac{\left(\frac{d\overline{E}}{dx}\right)_{irraggiamento}}{\left(\frac{d\overline{E}}{dx}\right)_{ionizzazione}} \approx \frac{E(MeV) \cdot Z + 1.2}{700}$$



Considerando per l'aria un valore di Z di circa 7 si ha:

$$E_c^{air} = 86 \, MeV$$

Heitler's Model of EM Showers (1944) model of the evolution of electromagnetic cascades

$$-\frac{dE}{dX}\bigg|_{bremstr} \approx -\frac{dE}{dX}\bigg|_{pair\_production} \approx \frac{E}{X_0}$$



$$X = x \cdot \rho \quad \left[ \frac{g}{cm^2} \right]$$

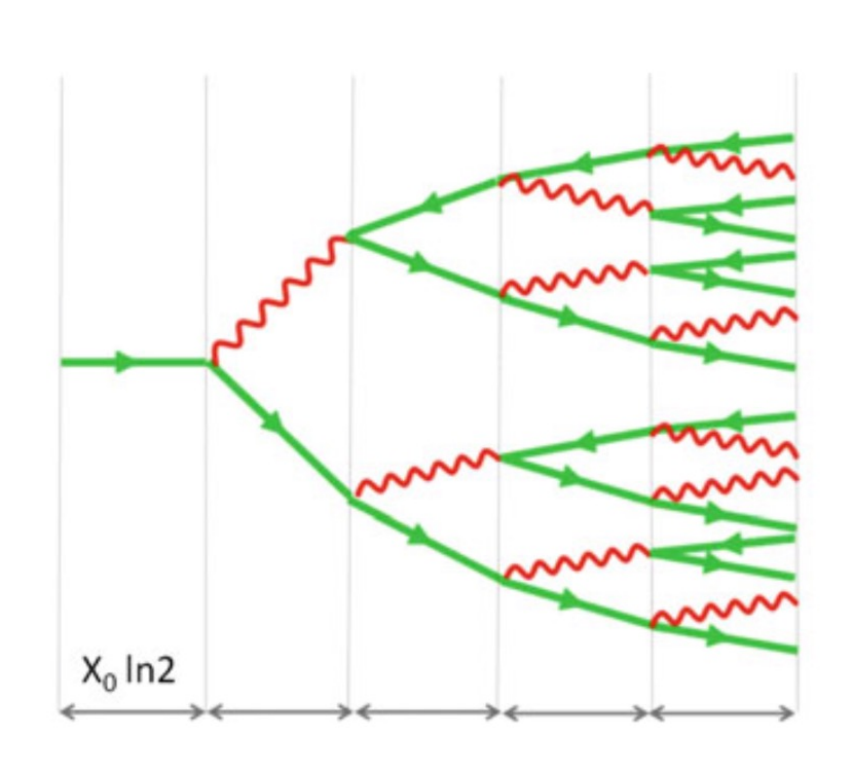
$$E(X) = E_0 e^{-\frac{X}{X_0}}$$

step: 
$$d = \ln 2 \cdot X_0$$
  $\left| \frac{g}{cm^2} \right|$ 

$$\frac{E(X=d)}{E_0} = e^{-\left(\frac{\ln 2 \cdot X_0}{X_0}\right)} = \frac{1}{2}$$

#### **SEMPLIFICAZIONE:**

In this model <u>cross sections of the two processes</u> are assumed equal, independent of the energy and <u>additional energy loss mechanisms are ignored</u>. The radiation length  $X_0$  represents both photon's and electron's mean free paths in the matter, <u>neglecting</u> for the former the factor 7/9.

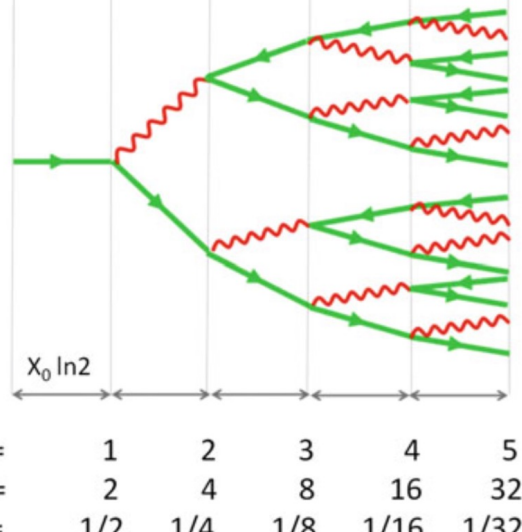


#### Statistically, at each step

- electrons/positrons halve their energy via bremsstrahlung emission of a single photon
- photons produce an electron-positron pair each with half the energy of the photon

#### Therefore, at each step

- the total number of particles increases by a factor of two
- the energy of each particle decreases by a factor of two



#### After k generations

- the number of particles is  $N_k = 2^k$ 
  - their individual energy is  $E_0/2^k$

d=	1	2	3	4	5
→ N=	2	4	8	16	32
===	1/2	1/4	1/8	1/16	1/32

This development continues until at the step k\* the individual energy drops below the critical energy E<sub>c</sub>.

At k\* the number of secondary particles reaches, therefore, a maximum (the so-called shower maximum):

$$N_{\text{max}} = 2^{k^*} \approx \frac{E_0}{E_C}$$

Esempio a 10 TeV photon reaching the top of the atmosphere produces in the Heitler's model ~10<sup>5</sup> secondary particles at the shower maximum.

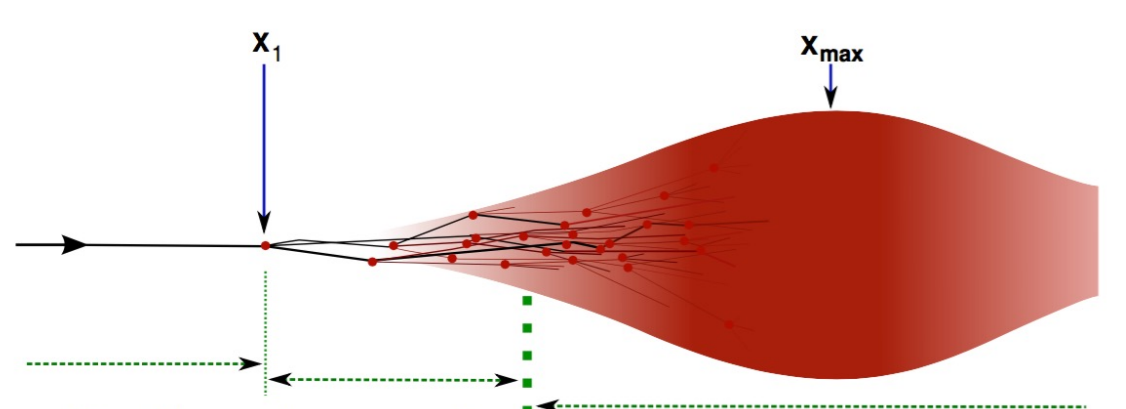
$$N_{\text{max}} = 2^{k^*} \approx \frac{E_0}{E_0} = \frac{10 \text{ TeV}}{86 \text{ MeV}} \approx \frac{10^{13} \text{ eV}}{10^8 \text{ eV}} = 10^5$$
  $k^* = \frac{\ln 10^5}{\ln 2} \approx 16$ 

The depth in the atmosphere (in g cm<sup>-2</sup>) where the maximum of the electromagnetic cascade occurs is:

air shower cascade phase

$$X_{\text{max}}^{\gamma} = X_1 + k^* \cdot d = X_1 + k^* \cdot \ln 2 \cdot X_0 = X_1 + X_0 \cdot \ln \left( \frac{E_0}{E_C} \right)$$

where  $X_1$  is the atmospheric depth where the cascade starts.



The position of the shower maximum depends logaritmically on the energy E<sub>0</sub>

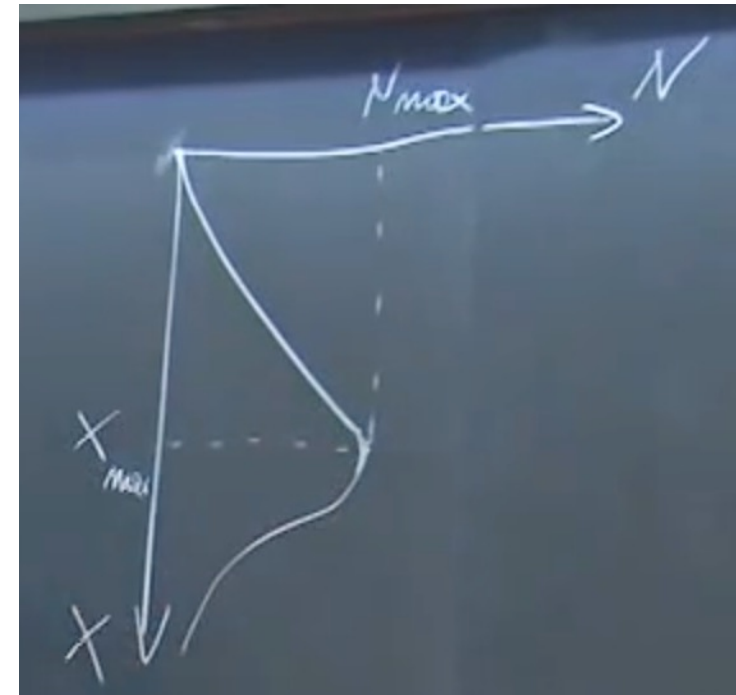
shower startup phase

CR particle

$$X_{\rm max}^{\gamma} \propto \ln E_0$$

$$2^{k^*} \approx \frac{E_0}{E_C} \implies \ln 2^{k^*} \approx \ln \left(\frac{E_0}{E_C}\right) \implies k^* \ln 2 \approx \ln \left(\frac{E_0}{E_C}\right)$$

$$X_{\text{max}}^{\gamma} = X_1 + X_0 \cdot \ln\left(\frac{E_0}{E_C}\right)$$



Monte Carlo simulations confirm the properties of Heitler's model.

although

- the particle number at maximum is overestimated by factors  $\sim 2-3$ .
- Heitler's model  $N_e/N_v=2$ , while Monte Carlo simulations give  $N_e/N_v\sim 1/6$ .

During the bremsstrahlung process, multiple photons are emitted and

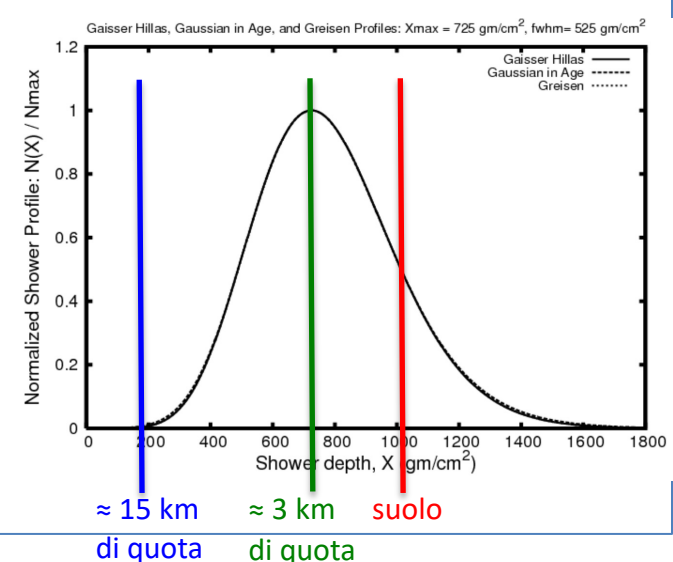
electrons lose energy through additional channels.

Analytic Solutions Greisen in 1960 developed a compact and still often used parameterization of the mean number of charged particles as a function of atmospheric

depth X for a y -ray induced shower:

$$N_e^{\gamma}(X) = \frac{0.31}{\sqrt{\ln\left(\frac{E_0}{E_C}\right)}} e^{\left[\left(1 - \frac{3}{2}\ln\left(\frac{3X}{X + 2X_{\text{max}}^{\gamma}}\right)\right)\frac{X}{X_0}\right]}$$

Greisen function (1960) introdotta per sciami EM Gaisser–Hillas function (1977) adattata per sciami adronici



#### Showers Initiated by Protons and Nuclei

CRs are mainly protons and heavier nuclei, which initiate a **hadronic shower** by interacting with atmospheric nuclei after traversing on average one interaction length  $\lambda_l$ .

$$p + air \rightarrow \pi^{\pm}, \pi^{0}, k^{\pm}, k^{0}, p, n$$

$$Nuclei + air \rightarrow \pi^{\pm}, \pi^{0}, k^{\pm}, k^{0}, p, n$$

$$\pi^{+} \xrightarrow{\tau=2.6 \cdot 10^{-8} s} \mu^{+} + v_{\mu}$$

$$\pi^{-} \xrightarrow{\tau=2.6 \cdot 10^{-8} s} \mu^{-} + v_{\mu}$$

$$\pi^{-} \xrightarrow{\tau=2.6 \cdot 10^{-8} s} \mu^{-} + v_{\mu}$$

$$\pi^{+} \xrightarrow{\text{decay lenght}} d'_{\pi^{\pm}} = \Gamma \cdot \tau \cdot c = \Gamma \cdot 780 \text{ cm}$$

#### **Competition between interaction & decay**

Once produced  $\pi^{\pm}$  can either interact or decay with air nuclei.

Whether decay or interaction dominates depends upon which of the two,  $d_{\pi^+}$  or  $\lambda_{I}^{\pi}$ , is smaller.

$$\tau^{\pm}$$
 interaction lenght:  $\lambda_I^{\pi} = 120 \quad \left[ \frac{g}{cm^2} \right]$ 

The role of the two processes is also complicated by the fact that the interaction probability depends on the material density, which in the atmosphere depends in turn on the

$$\pi^{\pm}$$
 interaction length:  $\lambda_{I}^{\pi} = 120 \left[ \frac{g}{cm^{2}} \right]$ 
 $\pi^{\pm}$  decay length:  $d_{\pi^{\pm}} = d'_{\pi^{\pm}} \cdot \rho = \Gamma \cdot 780 \cdot \rho$ 
 $\left[ \frac{g}{cm^{2}} \right]$ 

- high-energy  $\pi^{\pm}$  prevalently interact (because the relativistic Lorentz factor  $\Gamma$  is high),
- low-energy  $\pi^{\pm}$  decay.

At high altitudes, pions are more likely to decay than at low altitudes, where the atmosphere is denser.

In a **first-order model** we assume that  $\pi^{\pm}$  always interact if their energy is above a certain **threshold** energy  $E_{dec}^{\pi}$  and decay if the energy is below  $E_{dec}^{\pi}$ .

$$E(\pi^{\pm}) > E_{dec}^{\pi}$$
 always interact  $E(\pi^{\pm}) < E_{dec}^{\pi}$  always decay

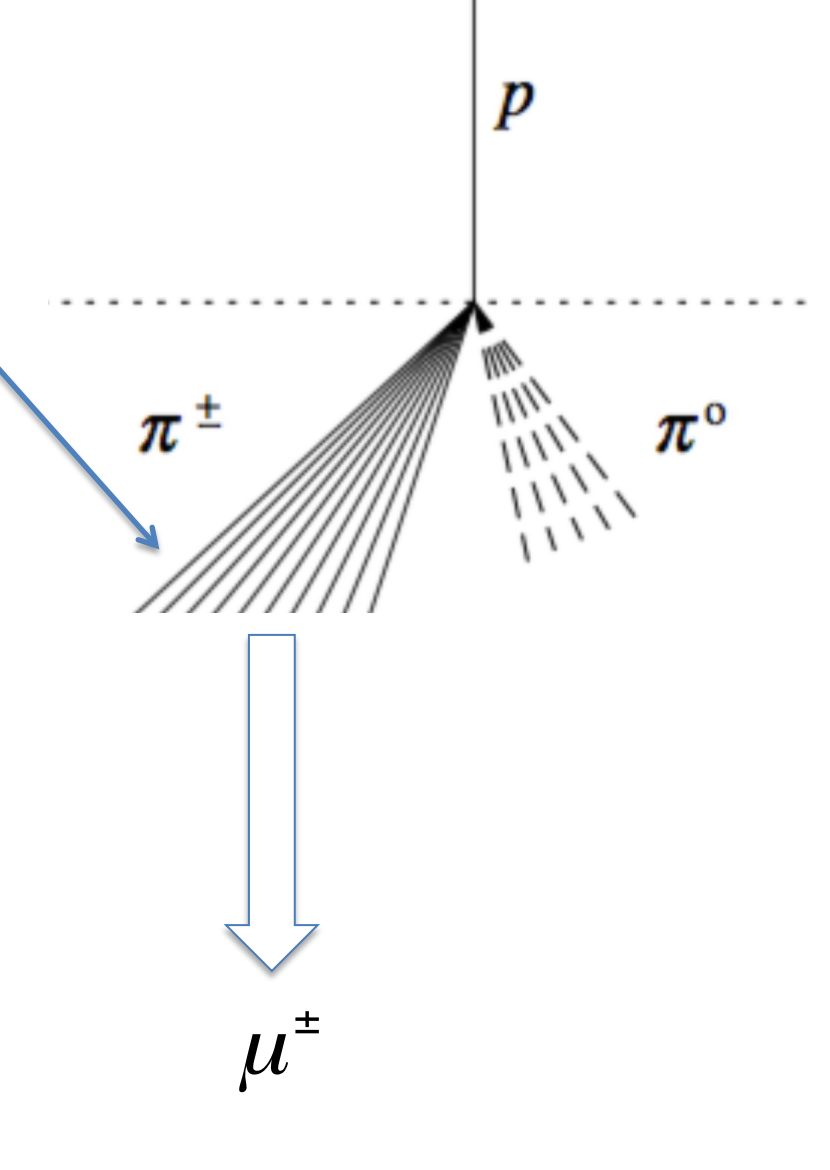
imponendo: 
$$d_{\pi^{\pm}} \equiv \lambda_{I}^{\pi}$$
 e supponendo  $\rho=10^{-3}$  g cm<sup>-3</sup> 
$$\Gamma \cdot 780 \cdot 10^{-3} \left[ \frac{g}{cm^{-2}} \right] \equiv 120 \left[ \frac{g}{cm^{-2}} \right] \Rightarrow \Gamma \equiv \frac{120}{780 \cdot 10^{-3}} = 154$$
 
$$\Rightarrow E_{dec}^{\pi} = m_{\pi} \cdot \Gamma = 140 \ MeV \cdot 154 \approx 20 \ GeV$$
 
$$E_{dec}^{\pi} \approx 20 \ GeV$$

In each hadronic interaction, 2/3 of the initial energy is transferred to the hadronic component.

After <u>k generations</u> the energies of the hadronic  $(E_h)$  and elettromagnetic  $(E_{EM})$  components are given by:

$$E_h = \left(\frac{2}{3}\right)^k E_0$$

$$E_{EM} = E_0 - E_h$$



## The Muon Component in a **Proton-Initiated Cascade**

The dependence of the number of muons in the cascade on  $E_0$  is:

$$N_{\mu}^{p} = \left(\frac{E_{0}}{E_{dec}^{\pi}}\right)^{\beta}$$

- n<sub>ch</sub>è il numero dei pioni carichi
- n<sub>h</sub> è il numero dei pioni totali

$$\beta = \frac{\ln n_{ch}}{\ln n_h} = \frac{\ln 2N_{\pi}}{\ln 3N_{\pi}} \approx 0.85 \quad (per N_{\pi} = 5)$$

$$n_{ch} = 10$$

#### Tiene conto della molteplicità

Solo una piccola frazione dell'energia a disposizione viene trasformata in <u>energia di massa</u> delle particelle prodotte. La maggior parte rimane sotto forma di energia cinetica.

Per esempio a Vs=100 GeV la molteplicità media dei pioni carichi è dell'ordine della decina mentre l'energia a disposizione permetterebbe la produzione di alcune centinaia

The number of muons produced in an air shower increases almost linearly with the proton energy  $E_0$ , as  $N_{\mu}{}^p \propto E_0{}^\beta$  with  $\beta \sim 0.85$ .

Esempio: per E<sub>0</sub>=10<sup>15</sup> eV si ha: 
$$N_{\mu}^{p} = \left(\frac{E_{0}}{E_{dec}^{\pi}}\right)^{\beta} \approx \left(\frac{10^{15} eV}{20 \ GeV}\right)^{0.85} \approx 10^{5} \ muoni$$

#### Depth of the Shower Maximum for a Proton Shower

The atmospheric depth at which the electromagnetic component of a proton-induced shower reaches its maximum is denoted as  $X_{max}^p$ .

For a primary proton the first interaction occurs on average at an atmospheric depth  $X_1 = \lambda_1$ 

$$X_{\text{max}}^p \approx \lambda_I + X_0 \cdot \ln \left( \frac{E_0}{2n_h E_c} \right)$$

The difference between the position of the maximum in the atmosphere for a proton or a  $\gamma$  -ray initiated shower of the same energy  $E_0$ .

$$\lambda_{I}^{p} \approx 85 \left[\frac{g}{cm^{2}}\right] \qquad \ln(2n_{h}) \approx 3.4 \quad con \ n_{h} = \frac{3}{2}n_{ch} = \frac{3}{2}10 = 15$$

$$X_{0}^{air} = 37 \left[\frac{g}{cm^{2}}\right] \qquad \lambda_{I} \approx 2.5X_{0}$$

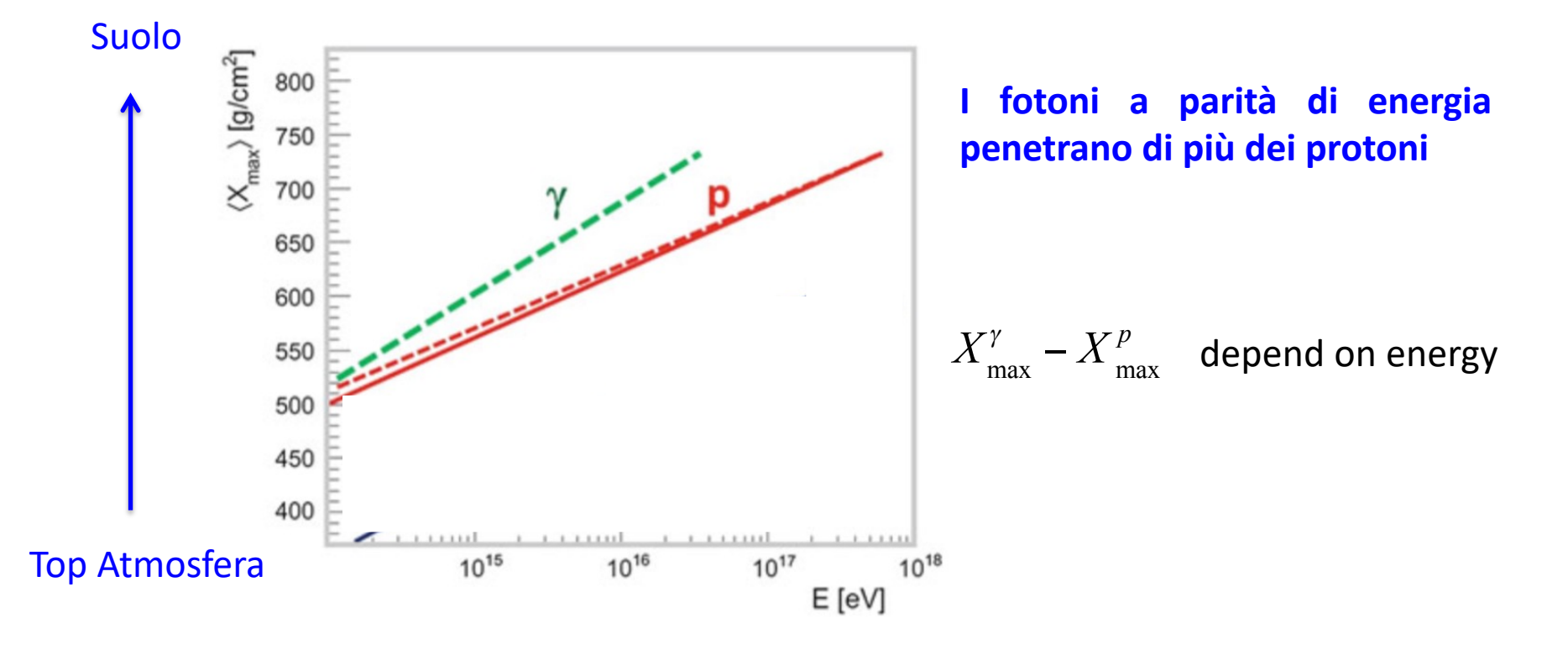
$$X_{max}^{p} \approx \lambda_{I} + X_{0} \cdot \left[\ln\left(\frac{E_{0}}{E_{c}}\right) - \ln\left(2n_{h}\right)\right] \approx 2.5X_{0} + \left(X_{max}^{\gamma} - \frac{X_{0}}{2}\right) - 3.4X_{0}$$

$$X_{\text{max}}^{\gamma} - X_{\text{max}}^{p} \approx 1.4X_{0}$$

$$1.4X_0 \approx 1.4 \cdot 37 \left[ \frac{g}{cm^2} \right] \approx 50 \left[ \frac{g}{cm^2} \right]$$

corresponding to about **50** g cm<sup>-2</sup> in atmosphere.

The maximum of the EM shower induced by a proton occurs higher in the atmosphere than that induced by a photon of the same energy  $E_0$ .



#### Showers Induced by Nuclei:

### The Superposition Model

Per estendere l'approccio utilizzato per caratterizzare gli EAS iniziati dai protoni al caso di EAS iniziati da nuclei utilizziamo il superposition model.

The superposition model assumes that a nucleus with atomic mass number A and energy  $E_0$  is equivalent to A individual single nucleons, each having an energy  $E_0/A$ , and acting independently.

The resulting EAS is treated as the sum of A individual proton induced showers, all starting at the same point.

The corresponding shower features are obtained by replacing  $E_0 \rightarrow E_0/A$  in the expressions derived for proton showers and summing A such showers.

esempio:  $1 \text{ Fe } da \, 10^{20} eV \iff 56 \text{ p } da \, \frac{10^{20} eV}{56} \approx 1.8 \cdot 10^{18} eV$ 

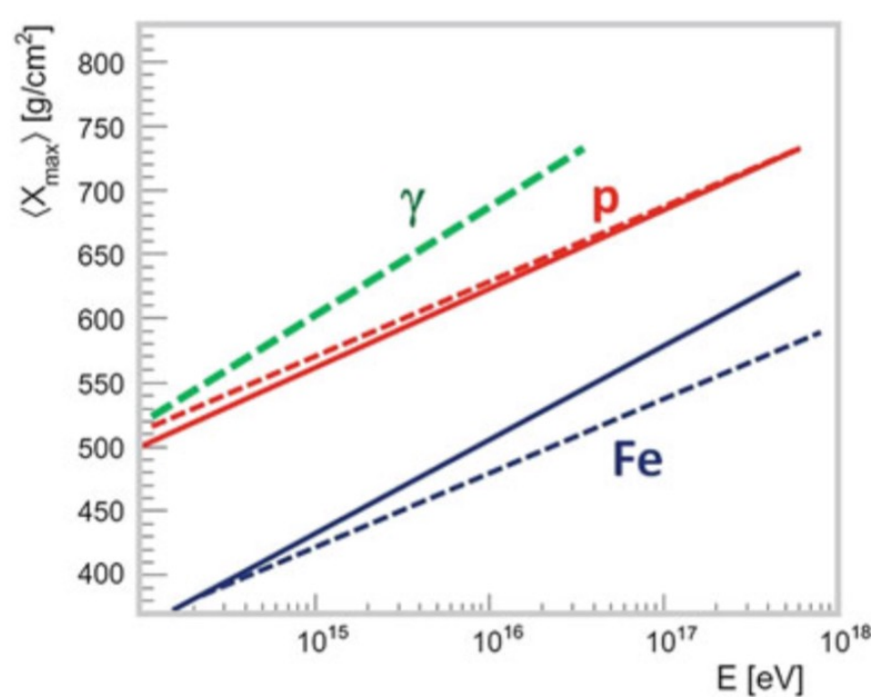
#### Depth of the Shower Maximum for a Nucleon Shower

To evaluate the average depth of the shower maximum from a nucleus of mass A we use  $X_{max}^p$  assuming that the shower is originated from a nucleon in the nucleus with energy  $E_0/A$ .

Thus, replacing

$$E_0 \rightarrow \frac{E_0}{A}$$
 and  $\lambda_I \rightarrow \lambda_I^A$ 

$$X_{\text{max}}^{A} \approx \lambda_{I}^{A} + X_{0} \cdot \ln \left( \frac{\underline{E_{0}}}{A} \frac{\underline{A}}{2n_{h}E_{c}} \right)$$

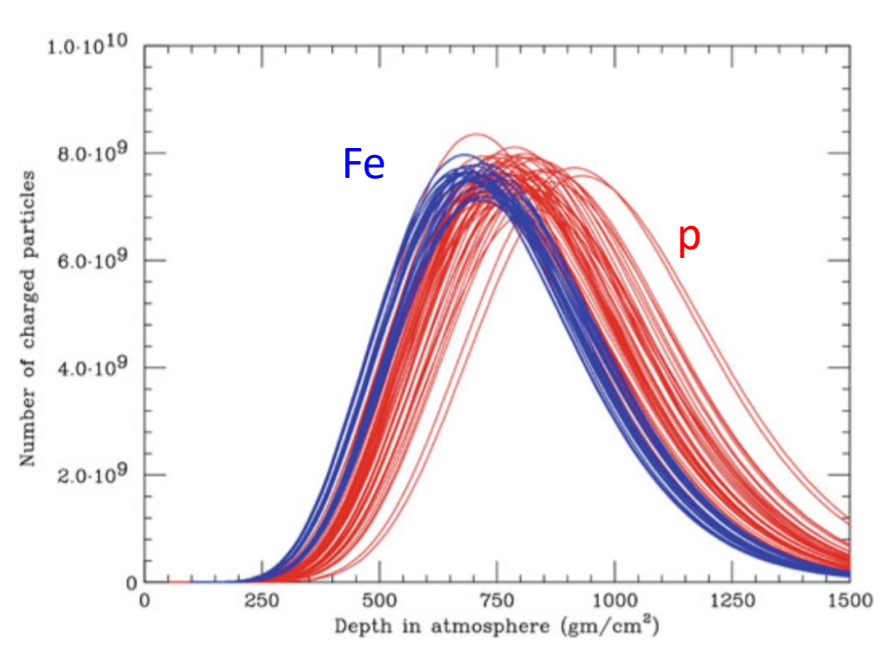


from which we obtain:

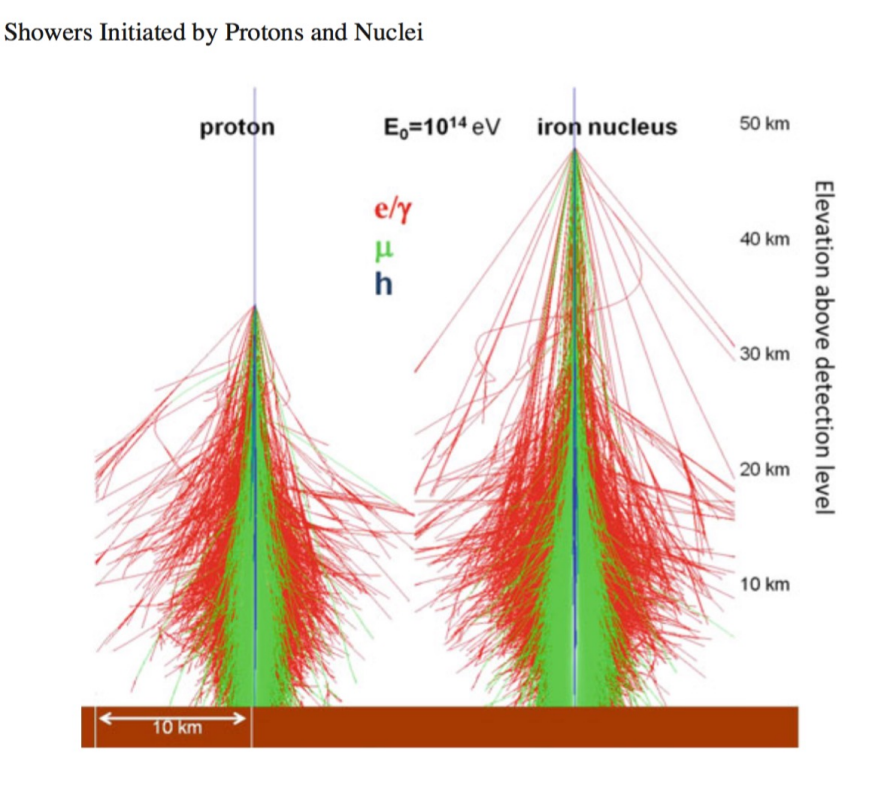
$$X_{\text{max}}^{A} \approx \lambda_{I}^{A} + X_{0} \cdot \ln\left(\frac{E_{0}}{2n_{h}E_{c}}\right) - X_{0} \ln A \approx X_{\text{max}}^{p} - X_{0} \ln A \qquad X_{\text{max}}^{p} - X_{\text{max}}^{A} \approx X_{0} \ln A$$

$$X_{\max}^p - X_{\max}^A \approx X_0 \ln A$$

Air shower initiated by a He, O and Fe nucleus of the same total energy reaches its maximum  $X_0 \ln(A) = 37 \ln(4) \approx 50 \text{ g/cm}^2$ ,  $X_0 \ln(A) = 37 \ln(16) \approx 100 \text{ g/cm}^2$  and  $X_0 \ln(A) = 37 \ln(56) \approx 150 \text{ g/cm}^2$  earlier than that initiated by a p with the same energy.



Simulation of the longitudinal profile produced with the CORSIKA code for 50 proton- induced (red) and 50 iron-induced (blue) showers. The same total energy of  $10^{19}$  eV is assumed. Shower-to-shower fluctuations on  $N_{emax}$  and  $X_{max}$  are evident.



Oltre alla diversa penetrazione ( $X_{max}$ ) in atmosfera dei nuclei rispetto ai protoni, vi è differenza anche nella ( $\Delta X_{max}$ ) dovuta alla maggiore statistica.

## The Muon Component in a nucleon-Initiated Cascade

replacing  $E_0 \rightarrow E_0/A$ 

$$N_{\mu}^{A} \approx A \times \left(\frac{E_{0}/A}{E_{dec}^{\pi}}\right)^{\beta} = A^{1-\beta} \cdot N_{\mu}^{p}$$

The important feature is that  $N_{\mu}^{A}$  increases slowly as function of the mass A of the primary particle as  $\propto A^{0.15}$ .

#### Sebbene

.....  $N_{\mu}^{A}$  increases slowly as function of the mass A of the primary particle as  $\propto A^{0.15}$ .

ma ricordando che

..... At high altitudes, pions are more likely to decay than at low altitudes, where the atmosphere is denser.

A parità di energia i Ferri produrranno più muoni dei protoni in quanto interagendo più in alto in atmosfera i pioni avranno più tempo per decadere.

# Diffusione dei Raggi Cosmici nella Galassia

http://homepages.ulb.ac.be/~khanson/particles.lhomepages.ulb.ac.be/~khanson/particles.lhomepages.ulb.ac.be/~khanson/particles.lhomepages.ulb.ac.be/~khanson/particles.lhomepages.ulb.ac.be/~khanson/particles.lhomepages.ulb.ac.be/~khanson/particles.lhomepages.ulb.ac.be/~khanson/particles.lhomepages.ulb.ac.be/~khanson/particles.lhomepages.ulb.ac.be/~khanson/particles.lhomepages.ulb.ac.be/~khanson/particles.lhomepages.ulb.ac.be/~khanson/particles.lhomepages.ulb.ac.be/~khanson/particles.lhomepages.ulb.ac.be/~khanson/particles.lhomepages.ulb.ac.be/~khanson/pages.ulb.ac.be

61

Lo spettro osservato dei RC dipende da due processi base:

- 1. L'accelerazione nelle sorgenti astrofisiche
- 2. La propagazione nell'ISM della nostra Galassia

Il "galactic diffusion model" spiega le osservazione in termini di:

- spettro energetico
- composizione
- isotropia dei RC

Le informazioni sulla propagazione dei RC nella Galassia sono ottenute dalla misura delle <u>abbondanze degli *elementi leggeri (Li Be B)*</u> che, come abbiamo visto, sono prodotti come RC secondari dalle interazioni di nuclei primari più pesanti con l'ISM

→ Abbiamo visto come il <u>bulk dei RC</u> è ritenuto essere accelerato dalle SNR galattiche

Abbiamo visto che esiste una grossa differenza tra le abbondanze di (Li Be B) nei Raggi Cosmici (CR) rispetto a quella misurata nel Sistema Solare (SS)

Indichiamo con R il **rapporto** tra gli elementi Leggeri (Li Be B) e gli elementi Medi (C N O)

$$R = \frac{Li \ Be \ B}{C \ N \ 0}$$

e indichiamo con:

dalla tabella si evince:

$$R_{CR} \approx 0.25$$

Element (Z)Group ZR.A.R.A.Number of particles  $E_T > 2.5$  $E_T > 10.6$ per 100 Si GeV/n GeV **CRs** 540  $1.9 \times 10^{5}$  $2.93 \times 10^{6}$ H(1)26000 26  $2.63 \times 10^4$ He (2) 3600  $2.47 \times 10^{\circ}$ Li (3 18 0.121  $5.6 \times 10^{-}$ 0.09  $6.1 \times 10^{-5}$ Be (4) 10.5 202 B(5)28 0.19  $9 \times 10^{-1}$  $7.2 \times 10^{2}$ C(6) 100 0.99  $2.1 \times 10^{2}$ N(7)25 0.22 180  $1.6 \times 10^{3}$ O(8)655  $0 \times 10^{-2}$ 0,015 F (9) 330 Ne (10) 16 0.152 115 Na (11) 2.7 0.026 20 5.8 0.197 137 103 Mg (12) 0.031 Al (13) 8.5 0.163 100 100 Si (14) P (15) 0.005 4.3 0.8 S (16) 130 + 76 + 202720 + 180 + 655V (23) 0.7 0.005  $2.9 \times x10^{-2}$ Cr (24) V.H 1.5 Mn (25) Fe (16) 10.8 < 0.2 Co (27) 0.4 Ni (28)

Table 3.3 Composition of the different CR components

The relative abundances (R.A.) measured with different methods and energy thresholds are reported in column 3 (Grieder 2001) and 4 (Engelmann et al. 1990). The corresponding relative CR abundances (column 5) are compared with that of the solar system (SS, column 6) (Lodders et al. 2009). The last two columns are arbitrary normalized to 100 for Si

5

0.02

 $2.93 \times 10^{6}$ 

 $3 \times 10^{4}$ 

 $5 \times 10^{-3}$ 

260

$$R_{\rm SS} \approx 10^{-5}$$

W H

(29–30) (>30)

(-1)

Gli elementi leggeri L sono creati attraverso processi di **spallazione** (o processi di frammentazione) dall'interazione degli elementi medi M con il Mezzo InterStellare ISM

La **produzione dei secondari**, distribuiti nell'intera Galassia, dipende:

- o dalla sezione d'urto nucleare
- dalla densità media dell'ISM ρ<sub>ISM</sub> (g cm<sup>-2</sup>)
- dalla distanza x (cm) percorsa tra la produzione e l'uscita dalla galassia dei primari

Definiamo "path length" (o grammage) la quantità 
$$\xi$$
:  $\xi = \rho_{ISM} \cdot x = \rho_{ISM} \cdot c \cdot \tau \quad \left[ \frac{g}{cm^2} \right]$ 

Il problema consiste nel trovare il valore di  $\xi = \xi_{esc}$  (escape length) che riproduce il rapporto osservato  $R_{CR} \approx 0.25$ 

questo valore corrisponde al valore medio di ISM attraversato dai RC prima di sfuggire dalla Galassia. In prima approssimazione consideriamo  $\xi_{esc} = {
m costant}{
m m{o}}$ ssia indipendente dall'energia. 64

<u>I processi di spallazione</u> in cui gli elementi M producono gli elementi L interagendo sui protoni che costituiscono il mezzo interstellare ISM <u>sono misurabili agli acceleratori</u>:

$$p + X \rightarrow Y + anything$$

formalmente uguale a:

$$X + p \rightarrow Y + anything$$

Per semplicità assumiamo che la sezione d'urto non dipenda dall'energia

Noi siamo interessati ai processi in cui

X sono gli elementi medi M (CNO) e

Y gli elementi leggeri L (Li Be B).

Nella tabella sono riportati le sezioni d'urto di frammentazione.

Nuclear Fragment (Y)		Target (X) Fragmentation cross-section (mb)			
Li	3	6	12.6	12.6	12.6
Li	3	7	11.4	11.4	11.4
Be	4	7	9.7	9.7	9.7
Be	4	9	4.3	4.3	4.3
Be	4	10	2.9	1.9	1.9
В	5	10	17.3	16.0	8.3
В	5	11	31.5	15.0	13.9
Total cross-section (mb)		252.4	280.9	308.8	

We assume that fragmentation cross-section does not depend on the energy

Facendo il rapporto tra la somma delle sezioni d'urto di frammentazione e la somma delle tre sezioni d'urto totale si ottiene la probabilità  $P_{\!\scriptscriptstyle ML}$  che un elemento medio M si

frammenti in un elemento leggero L.

$$P_{ML} = \frac{\sum \sigma_{i}^{frammentazione}}{\sum \sigma_{i}^{totale}} = 0.28$$

	Nuc	lear		Target (	X)		
Fragment (Y)		Fr	Fragmentation cross-section (mb)				
	Z	A	С	N	0		
Li	3	6	12.6	12.6	12.6		
Li	3	7	11.4	11.4	11.4		
Be	4	7	9.7	9.7	9.7		
Be	4	9	4.3	4.3	4.3		
Be	4	10	2.9	1.9	1.9		
В	5	10	17.3	16.0	8.3		
В	5	11	31.5	15.0	13.9		
	Total cross-s	section (mb)	252.4	280.9	308.8		

Quindi durante la propagazione si ha:

We assume that fragmentation cross-section does not depend on the energy

$$N_M + p \rightarrow N_L + anything$$
  $con P_{LM} = 0.28$ 

Calcoliamo ora  $\lambda_M$  e  $\lambda_L$ 

- Per i nuclei medi M la massa atomica è A<sub>M</sub>≈14
- Per i nuclei leggeri L la massa atomica è A<sub>L</sub>≈8.5

Introducendo questi valori di masse atomiche e tenendo conto che i <u>nuclei bersaglio sono</u> <u>protoni</u> si ottengono i valori per le **sezioni d'urto** e i **liberi cammini medi**:

$$\sigma = \sigma_{p-p} \cdot A^{\frac{2}{3}} \approx 45 \cdot A^{\frac{2}{3}} [mb]$$

$$\lambda = \frac{A \cdot m_{p}}{\sigma} = \frac{1 \cdot m_{p}}{\sigma} \left[ \frac{g}{cm^{2}} \right]$$

$$\sigma_{M} \approx 280 \ mb \quad \Rightarrow \quad \lambda_{M} \approx 6.0 \frac{g}{cm^{2}}$$

$$\sigma_{L} \approx 200 \ mb \quad \Rightarrow \quad \lambda_{L} \approx 8.4 \frac{g}{cm^{2}}$$

Per <u>determinare il valore di  $\xi_{esc}$ </u> che riproduce il valore del rapporto osservato tra (Li Be B) e (C N O) dobbiamo impostare un <u>sistema di equazioni differenziali</u> per il numero di M ed L in funzione di  $\xi$ .

L'equazione che descrive la **riduzione** degli elementi medi  $\,$  M in funzione del path length  $\xi$  è:

$$\frac{d}{d\xi}N_{M}(\xi) = -\frac{N_{M}(\xi)}{\lambda_{M}}$$

L'equazione che descrive la **produzione** degli elementi leggeri L in funzione del path length  $\xi$  è: (questo contiene sia un termine positivo di sorgente e uno negativo di attenuazione)

$$\frac{d}{d\xi} N_L(\xi) = \frac{P_{ML}}{\lambda_M} N_M(\xi) - \frac{N_L(\xi)}{\lambda_L}$$

Il termine di sorgente cresce con la probabilità P<sub>ML</sub>.

Le condizioni al contorno sono:

$$N_L(\xi = 0) = 0$$

$$N_M(\xi = 0) = N_M^0$$

Rappresenta il rate di produzione dei nuclei M delle sorgenti astrofisiche
Si tratta di un parametro "dummy" che sparirà in quanto siamo interessati solo al rapporto tra L ed M

Risolvendo il sistema di equazioni si ottiene:

$$N_{M}(\xi) = N_{M}^{0} e^{-\frac{\xi}{\lambda_{M}}}$$

$$\begin{cases} N_L(\xi) \\ N_M(\xi) \end{cases} = 0.25$$

$$\begin{cases} N_L(\xi) \\ N_L(\xi) \end{cases} = 0.25$$

$$\begin{cases} N_L(\xi) \\ N_L$$

$$N_{L}(\xi) = \frac{P_{ML}}{\lambda_{M}} \cdot N_{M}^{0} \cdot \frac{\lambda_{M} \lambda_{L}}{\lambda_{L} - \lambda_{M}} \cdot (e^{-\frac{\xi}{\lambda_{L}}} - e^{-\frac{\xi}{\lambda_{M}}})$$

Il valore misurato del rapporto L/M pari a 0.25 comporta una valore di  $\xi_{esc}$  pari a 5 g/cm<sup>2</sup>.

ξ<sub>esc</sub> è chiamata "average escape length" dei RC dalla Galassia Siccome conosciamo il valore della densità dell'ISM  $\rho_{ISM}$  (1 protone/cm³) possiamo ricavare di  $x_{esc}$ .

ricavare di 
$$x_{esc}$$
.

quindi otteniamo: 
$$x_{esc} = \frac{\xi_{esc}}{\rho_{ISM}} = \frac{5\frac{g}{cm^2}}{1.6\cdot 10^{-24}} = 10^{25}cm = 3\,Mpc$$

essendo questo valore molto maggiore delle dimensioni della Galassia tale risultato può avere senso solo se la <u>propagazione dei RC nella Galassia</u> assomiglia ad un "Random Walk".

Inoltre dimostra che i processi di <u>accelerazione</u> e di <u>propagazione</u> posso essere trattati separatamente.

#### Misura dell'**Escape time** $\tau_{esc}$ :

Partendo da  $x_{esc}$  e sapendo la velocità di propagazione dei RC, ossia quella della luce c (particelle ultrarelativistiche) possiamo trovare l'escape time  $\tau_{esc}$  che rappresenta il tempo medio di permanenza dei RC all'interno della Galassia (confinamento) prima di uscire dalla stessa.

$$\tau_{esc} = \frac{x_{esc}}{c} = \frac{10^{25} cm}{3 \cdot 10^{10} \frac{cm}{s}} = 3 \cdot 10^{14} \ s = 10^7 \ anni$$

## Misura dell' escape time $\tau_{esc}$ con i nuclei radioattivi

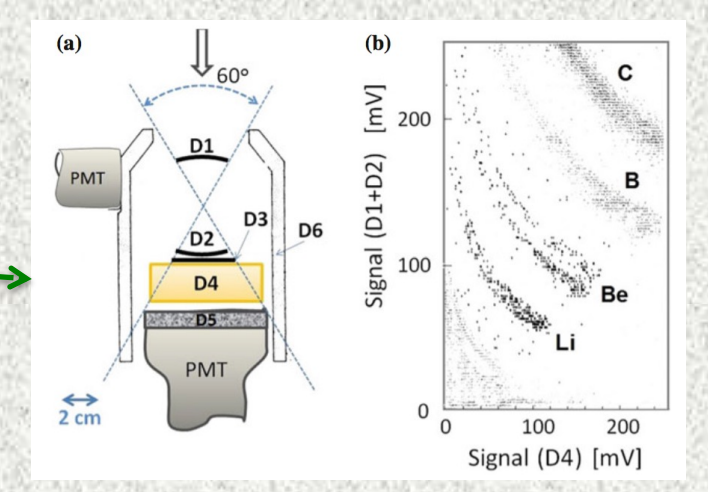
Abbiamo visto come la misura del rapporto secondari/primari permette di trovare il valore dell'escape time  $\tau_{esc}$  basandosi sull' assunzione del valore dell'Interstellar Medium  $\rho_{ISM}$ .

L' escape time  $\tau_{esc}$  può essere misurato anche utilizzando I nuclei radioattivi ottenendo in questo modo una misura indipendentemente dalla stima dell'Interstellar Medium  $\rho_{ISM}$ .

Tra i nuclei radioattivi, il più utilizzato è il  $^{10}Be$  che ha un tempo di decadimento di  $1.51\cdot10^6$  anni confrontabile con l'escape time  $\tau_{esc}$ 

In analogia con quanto viene svolto per la datazione di reperti archeologici con 14**C** 

Le misure sono state effettuate a bordo di satelliti IMP-7/8, ISEE-3, Voyager, Ulysses, CRIS



Partendo dalle misure delle sezioni d'urto di dei nuclei produzione di Be dalla frammentazione dei nuclei medi (CNO)

$$CNO + p \xrightarrow{frammentazione} Be$$

è possibile prevedere i seguenti rapporti:

$$^{7}Be: {}^{9}Be: {}^{10}Be = 9.7: 4.3: 2.3 \quad (aspettati)$$

Nuclear Fragment (Y)			Target (X) Fragmentation cross-section (mb)			
Li	3	6	12.6	12.6	12.6	
Li	3	7	11.4	11.4	11.4	
Be	4	7	9.7	9.7	9.7	
Be	4	9	4.3	4.3	4.3	
Be	4	10	2.9	1.9	1.9	
В	5	10	17.3	16.0	8.3	
В	5	11	31.5	15.0	13.9	
Total cross-section (mb)		252.4	280.9	308.8		

We assume that fragmentation cross-section does not depend on the energy

Invece, i valori misurati da IMP-7/8 sono: 
$${}^{7}Be: {}^{9}Be: {}^{10}Be = 329:177:15$$
 (*misurati*)

Il valore misurato del <sup>10</sup>Be largamente soppresso rispetto al <sup>7</sup>Be (stabile) è spiegabile solo ammettendo che esso decada dopo essere stato prodotto.

→ Ciò permette di misurare l'escape time dei RC

9.7 4.3 2.3 Indichiamo con  $\tau_{10}$  il tempo di dimezzamento del <sup>10</sup>Be , possiamo scrivere:

$$N_{10}(t) = N_{10}^{0} e^{-\frac{t}{\tau_{10}}} \qquad N_{7}(t) = N_{7}^{0}$$

con 
$$\tau_{10} = \frac{1.51 \cdot 10^6 \ anni}{\ln 2} \approx 2.2 \cdot 10^6 \ anni$$

**Alla produzione** si ha: (dipende solo dalle sezioni  $\frac{N_{10}^{\circ}}{N^{\circ}} = \frac{2.3}{9.7} \approx 0.25$ d'urto di frammentazione)

$$\frac{N_{10}^0}{N_7^0} = \frac{2.3}{9.7} \approx 0.25$$

Quindi dopo un tempo t\* dalla produzione utilizzando il rapporto misurato

$$r_{measured} = \frac{15}{329} = 0.045$$

si ottiene 
$$r_{measured} = \frac{N_{10}^0}{N_7^0} e^{-\frac{t^*}{\tau_{10}}} \implies \frac{t^*}{\tau_{10}} = -\ln\left(\frac{N_7^0}{N_{10}^0} \cdot r_{measured}\right) \approx -\ln\left(4 \cdot 0.045\right) = 1.715$$

pertanto il tempo di propagazione dei raggi cosmici nella Galassia è pari a:

$$t^* = 1.715 \cdot \tau_{10} \approx 4 \cdot 10^6 \ anni$$

Misure più recenti stimano l'escape time pari a:

$$t^* = 17^{+24}_{-8} \cdot 10^6 \ anni$$

in accordo con quanto trovato precedentemente!

#### MISURA DELL'INTERSTELLAR MEDIUM PISM

Grazie alla determinazione dell'escape time  $\tau_{esc}$  con la misura dei radionuclidi è possibile stimare (corroborare) il valore dell' dell'Interstellar Medium p<sub>ISM</sub>.

**CRIS** (Cosmic Ray Isotope Spectrometer) partendo dal valore di  $\tau_{esc} = 15.0\pm1.6 \cdot 10^6$  anni ha stimato il valore della densità del numero di idrogeno:

$$n_{ISM}^{CRIS} = \frac{\rho_{ISM}}{1.6 \cdot 10^{-24} g} = 0.34 \pm 0.04 \left[ \frac{H \ atom}{cm^3} \right]$$

che corrisponde ad un valore di 
$$\xi_{ISM}^{CRIS} = 7.6 \left[ \frac{g}{cm^2} \right]$$

da confrontare con il valore di **5 g cm**<sup>-2</sup> utilizzato precedentemente!

# Energy-Dependence of the Escape Time $\tau_{esc}$

Sino ad ora abbiamo assunto che l' escape time  $\tau_{esc}$  non dipende dall'energia.

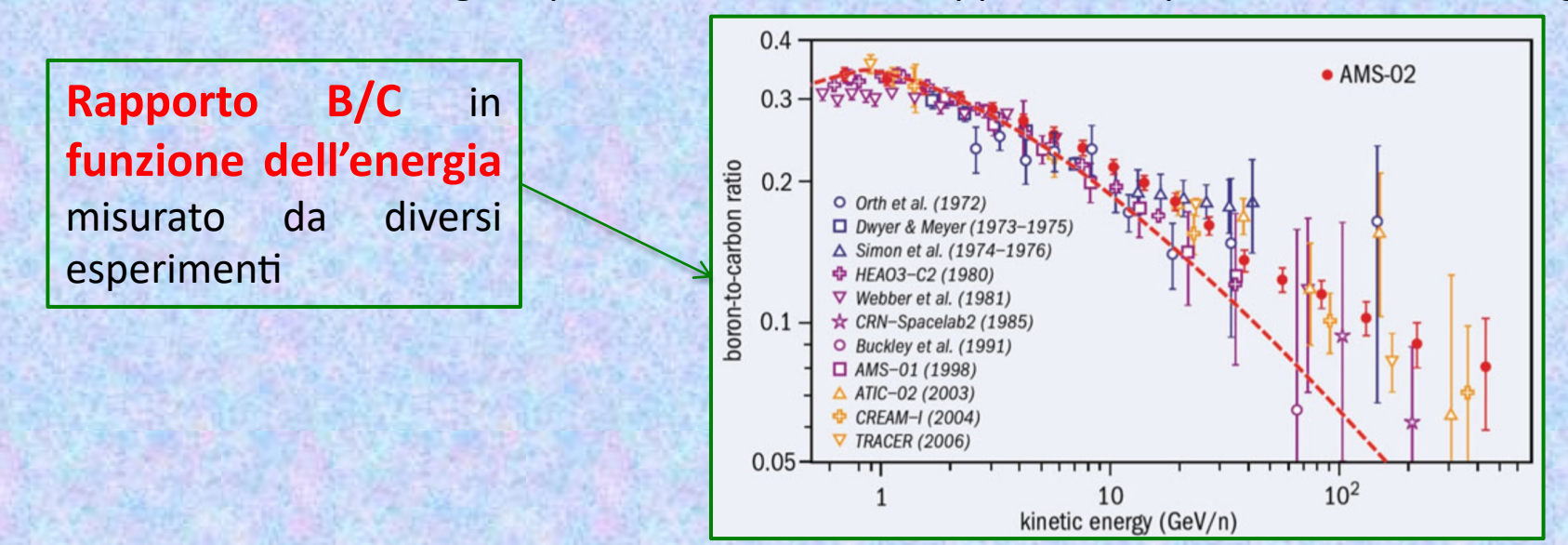
La dipendenza dall'energia dell'escape time può essere dedotta dalla misura del rapporto secondari/primari dei nuclei stabili.

Si utilizza il rapporto B/C in quanto

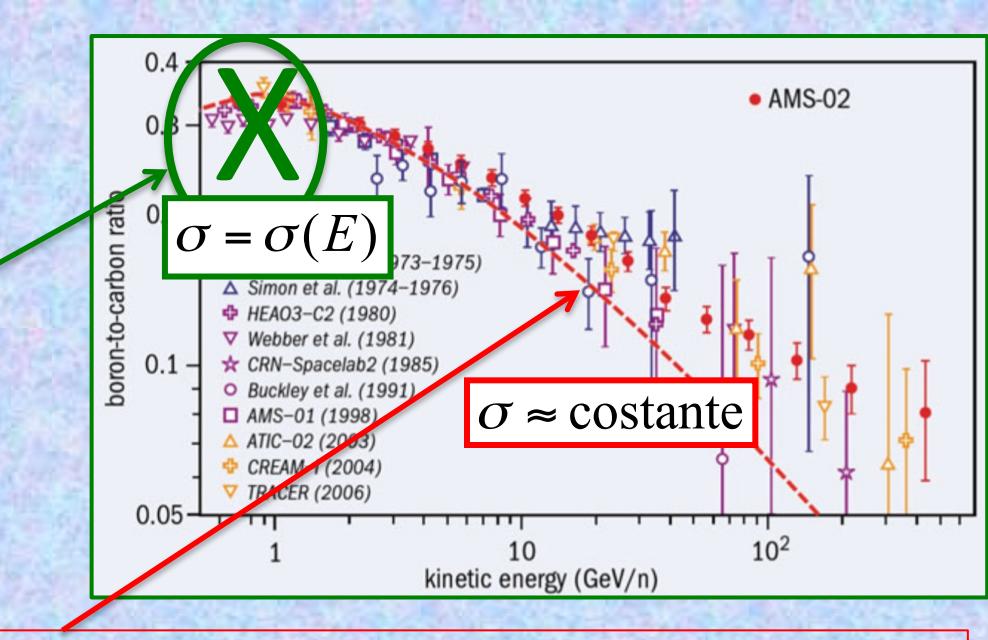
 $\frac{Boron}{Carbon}$ 

- il <u>B è completamente secondario</u> e
- <u>la sezione d'urto di produzione è meglio conosciuta</u> di quelle del Li e del Be.

Grazie alla misura dell'energia è possibile misurare il rapporto B/C per diversi bin di energia



**Escludiamo** la <u>parte più bassa</u> <u>dell'energia</u> in cui il rapporto B/C cresce con l'energia in quanto le <u>sezioni</u> d'urto dipendono dalle relative velocità dei nuclei.



Ad <u>energie più elevate</u> le sezioni d'urto di frammentazione nucleare sono quasi costanti. Ciò significa che la decrescita del rapporto B/C non può che essere dovuta ad un differente path length  $\xi$  per nuclei con diversa energia.

Assumiamo empiricamente che il path length  $\xi$  dipende dalla rigidità R e decresce col crescere della rigidità:

 $\xi_{esc} = \xi_0 \left(\frac{R}{R_0}\right)^{-\delta}$ 

dove  $\delta$ ,  $\xi_0$ ,  $R_0$  sono parametri da derivare sperimentalmente.

La Rigidità R è definita come:

$$R \approx \frac{E}{Ze} = \frac{E[eV]}{300}[Volt]$$

Sperimentalmente si trovano i seguenti valori:

$$\delta = 0.6$$
  $\xi_0 = 11.8 \frac{g}{cm^2}$   $R_0 = 5 \frac{GV}{c}$ 

Sapendo che la relazione tra l'average escape length  $\xi_{esc}$  e l'escape time  $\tau_{esc}$  è:

$$\tau_{esc} = \frac{\xi_{esc}}{c \cdot \rho_{ISM}}$$

possiamo riscrive 
$$\tau_{esc} = \tau_0 \left(\frac{R}{R_0}\right)^{-0.6} = \tau_0 \left(\frac{E}{E_0}\right)^{-0.6}$$

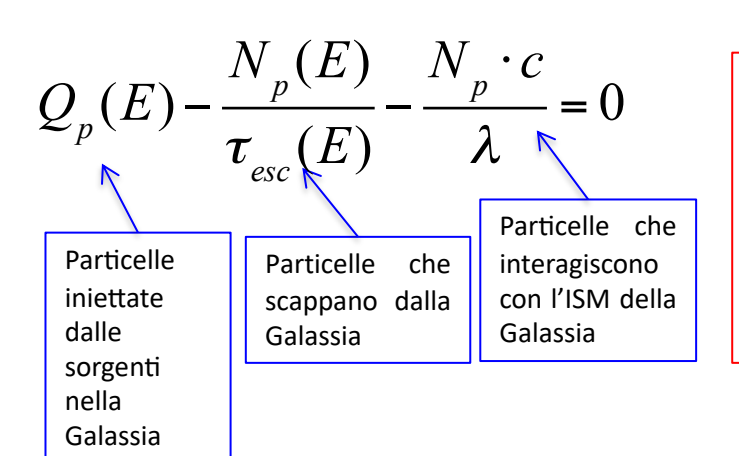
$$au_{esc}(E) \propto E^{-0.6}$$

## Spettro energetico dei RC alle sorgenti

Vogliamo ora ricavare l'indice spettrale dei RC nelle vicinanze delle sorgenti che li hanno accelerati sapendo che qui <u>sulla Terra</u> osserviamo un indice pari a <u>-2.7</u>.

Per descrivere il percorso dei RC nella Galassia si utilizza un'equazione detta "diffusion equation".

Per semplicità consideriamo solo i protoni e nuclei stabili che indicheremo con  $N_P$  in uno stato stazionario  $dN_p/dt=0$ , trascurando i processi di frammentazione ( $P_{ij}=0$ ). Sotto queste condizioni possiamo scrivere:



Q<sub>P</sub>(E) è il termine di **sorgente** e rappresenta il <u>rate di iniezione</u> di particelle per unità di  $se N_P$   $\left[\frac{1}{cm^3 GeV}\right]$ volume

$$Q_{p}(E) \quad \left[ \frac{1}{cm^{3} GeV s} \right]$$

$$se N_{p} \quad \left[ \frac{1}{cm^{3} GeV} \right]$$

$$\tau = \frac{\lambda}{C}$$

 $\lambda$  è la lunghezza di interazione dei protoni e dei nuclei con l'ISM. Per i protoni cosmici  $\lambda_l \approx 40 \text{ g cm}^{-2}$  (essendo A=A<sub>ISM</sub>=1 e  $\sigma = \sigma_{pp} \approx 45 \text{ mb}$ )  $\lambda_I = \frac{\rho}{\pi \sigma} = \frac{A m_p}{\sigma}$  Per ottenere l' intensità  $\phi(E)$  dei RC occorre moltiplicare  $N_P$  per c/4 $\pi$ .

$$\frac{c}{4\pi}N_P = \Phi(E) \quad \left[\frac{1}{cm^2 \ GeV \ s \ sr}\right]$$

La soluzione è: 
$$N_{P}(E) \equiv \frac{Q_{p}(E) \cdot \tau_{esc}(E)}{1 + \frac{c\tau_{esc}(E)}{\lambda_{I}}}$$
 può essere trascurato 
$$\frac{c\tau_{esc}(E)}{\lambda_{I}} = \frac{\xi_{esc}(E)}{\lambda_{I}} \approx \frac{5 \text{ g cm}^{-2}}{40 \text{ g cm}^{-2}} \approx 0.1$$

quindi: 
$$N_P(E) = Q_p(E) \cdot \tau_{esc}(E)$$

Sostituendo 
$$\phi(E)$$
 con  $N_P(E)$  e sapendo che  $\tau_{esc} = \tau_0 \left(\frac{E}{E_0}\right)^{-0.0}$ 

Si ottiene: 
$$\Phi(E) \propto Q_p(E) \cdot E^{-0.6}$$

φ(E) rappresenta lo spettro dei RC osservato a Terra: Φ(E)  $\propto ·E^{-2.7}$ 

Pertanto:  $Q_p(E) = \frac{\Phi(E)}{E^{-0.6}} \propto E^{-2.7} \cdot E^{0.6} = E^{-2.1}$ 

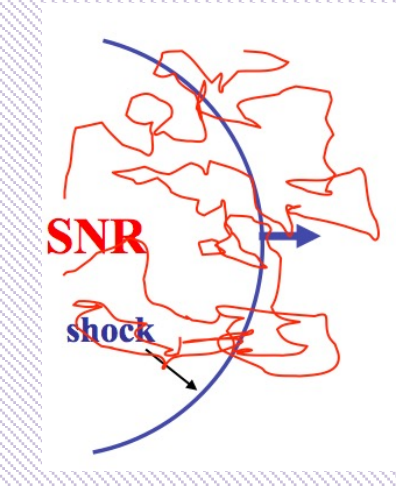
Il **termine di sorgente Q\_P(E)** presenta pertanto un indice spettrale pari a  $\approx$  -2 Occorre che i modelli di produzione ed accelerazione abbiano tale indice spettrale

Detto in altri termini; dopo le correzioni dell'indice spettrale  $\alpha$  misurato dovuto alla propagazione nella Galassia, la dipendenza energetica vicino alle sorgenti deve essere  $E^{-\alpha s}$  con  $\alpha_s \approx 2$ . Ciò è vero sia per i protoni che per i nuclei (e anche per gli elettroni)

# Meccanismi di accelerazione e sorgenti galattiche di RC

I Raggi Cosmici sono particelle le cui energie sono tipicamente molto maggiori delle "thermal energies" tipiche degli ambienti astrofisici.

Col termine "nonthermal emission" si intendono emissioni continue che <u>non</u> possono essere originate da radiazioni di <u>corpo</u> nero o thermal bremsstrahlung



Fermi ipotizzò che le **onde d'urto** "shock waves" che si espandono da una SN possono dare luogo ad una accelerazione (del primo ordine) chiamata anche **diffusive** acceleration in cui l'energia guadagnata dai RC è proporzionale a  $\beta$ .

In un primo lavoro Fermi aveva ipotizzato un meccanismo di accelerazione proporzionale a  $\beta^2$  (detto del secondo ordine) del tutto inefficiente.

La particella si muova lungo l'asse +x con energia E, lo shock si muova in direzione opposta -x con una velocità  $\beta$ <<1. In questa situazione la particella è riflessa all'indietro e guadagna una energia pari a:

 $\frac{\Delta E}{E} \approx \beta$ 

La particella è in qualche modo riflessa indietro, sia da nubi magnetiche che da outer shock shell che si muovono con velocità più basse dell'inner shell.

Ad ogni ciclo la particella guadagna una frazione di energia  $\alpha$ . Quindi dopo n cicli la particella avrà un'energia

$$E = E_0 (1 + \alpha)^n \implies n = \frac{\ln\left(\frac{E}{E_0}\right)}{\ln(1 + \alpha)}$$

Ad ogni ciclo c'è una **probabilità P** che la particella **non scappi**. (Supponiamo per semplicità che P non dipenda dall'energia). Tipicamente P=0.95 La <u>frazione di particelle rimasta dopo n</u> cicli è:

$$\frac{N}{N_0} = P^n$$

passando ai logaritmi da entrambe le parti ed inserendo n:

$$\ln\left(\frac{N}{N_0}\right) = n \ln P = \frac{\ln\left(E/E_0\right)}{\ln(1+\alpha)} \ln P$$

si trova una legge di potenza tipica dell'accelerazione di Fermi:

$$\ln\left(\frac{N}{N_0}\right) = s \ln\left(\frac{E}{E_0}\right) \qquad con \ s = \frac{\ln P}{\ln(1+\alpha)}$$

$$\ln N \propto s \ln E \implies \ln N \propto \ln E^s \implies N(>E) \propto E^s$$

Passando al flusso differenziale otteniamo:

$$\frac{dN(E)}{dE} \propto sE^{s-1} \propto E^{-\gamma} \quad con \ \gamma = 1 - s$$

Il meccanismo di accelerazione di Fermi del l' ordine è un processo molto efficiente nell'accelerare particelle se si considerano regioni dove esistono turbolenze su piccola scala; per esempio nelle shell di giovani SuperNovae Remanents.

Siccome questo meccanismo è associato all'accelerazione di particelle in "strong shock waves" spesso è denominato "diffusive shock acceleration".

Il punto forte di questo meccanismo è che esso accelera particelle con "power-law energy spectrum" con indice spettrale ≈2!

#### Esplosioni di Supernovae e Accelerazione dei RC

Le **SN di tipo II** (core collapse) risultano dal collasso di stelle massive con una massa superiore a 8 masse solari.

Abbiano già visto che l'energia rilasciata da un'esplosione di SN è data dall'energia di legame gravitazionale rilasciata e corrisponde a circa 2·10<sup>53</sup> erg. Di questa solo l'1% è trasferita come energia cinetica al materiale espulso che forma l'onda d'urto "shock wave".

Indichiamo con K l'energia media emessa come energia cinetica.

Consideriamo una SN di 10 Masse Solari (ossia M=10M<sub>Solari</sub>=2·10<sup>34</sup> g), la sua energia cinetica corrisponde a K≈2·10<sup>51</sup> erg

La velocita della massa espulsa U (lo "shock wave") è:

$$U \approx \sqrt{\frac{2K}{M}} = \sqrt{\frac{2 \cdot 2 \cdot 10^{51} \ erg}{2 \cdot 10^{34} \ g}} \approx 5 \cdot 10^{8} \frac{cm}{s}$$

corrispondente a circa 2% delle velocità della luce. Non è una velocità relativistica, ma comunque molto maggiore della velocita dell'ISM.

- Il fronte dello shock espande con velocità U con simmetria sferica attraverso l'Interstellar Matter (ISM) che come sappiamo ha una densità  $\rho_{ISM}\sim 1$  proton cm<sup>-3</sup>  $\simeq 1.6\cdot 10^{-24}\,\mathrm{g}$  cm<sup>-3</sup>.
- Durante l'espansione lo shock raccoglie la materia interstellare.
- Lo shock diventerà inefficiente quando  $\rho_{SN} \simeq \rho_{ISM}$ . Il raggio entro il quale lo shock wave è in grado di accelerare le particelle può essere ottenuto dalla condizione:

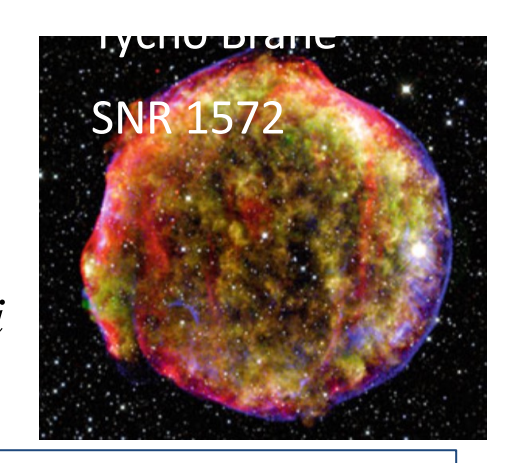
$$\rho_{SN} = \frac{10M_{Solari}}{(4/3)\pi R_{SN}^3} = \rho_{ISM}$$

quindi risolvendo rispetto e R<sub>SN</sub> ed introducendo i valori numerici abbiamo:

$$R_{SN} = 1.4 \cdot 10^{19} \ cm \approx 5 \ pc$$

Il corrispondente tempo sarà:

$$T_{SN} = \frac{R_{SN}}{U} = \frac{1.4 \cdot 10^{19} \ cm}{3 \cdot 10^{8} \ cm/s} \approx 3 \cdot 10^{10} \ s \approx 1000 \ anni$$



La scala dei tempi delle SN (10<sup>3</sup> anni) è piccolo se confrontato col la scala dei tempi di fuga dalla Galassia dei RC (10<sup>7</sup> anni). I Raggi Cosmici che rileviamo sono il risultato di 10<sup>4</sup> SN.

#### Massima energia raggiungibile nelle SNR

Ci chiediamo ora fino a quali energie è possibile accelerare particelle tramite il "diffusive shock mechanism" in un'esplosione di SuperNovae.

La massima energia che una particella può raggiungere è:

$$E^{\max} \cong \frac{Ze \ B \ R_{SN} \ U}{c}$$

introducendo i valori numerici

e = 
$$4.8 \cdot 10^{-10}$$
 e.s.u.  
B  $\approx 4 \cdot 10^{-6}$  Gauss  
U/c  $\approx 2 \cdot 10^{-2}$   
R<sub>SN</sub> =  $1.4 \cdot 10^{19}$  cm

electron charge= 4.8x10<sup>-10</sup> esu=1.6x10<sup>-19</sup>C

e convertendo in eV si ha:

$$E^{\text{max}} \cong 300 \cdot Z \quad TeV$$

Il "diffusive shock mechanism" in un'esplosione di SuperNovae è in grado spingere i **protoni** sino ad energie di qualche centinaio di TeV (≈10¹⁴ eV) ossia all'inizio del Ginocchio.

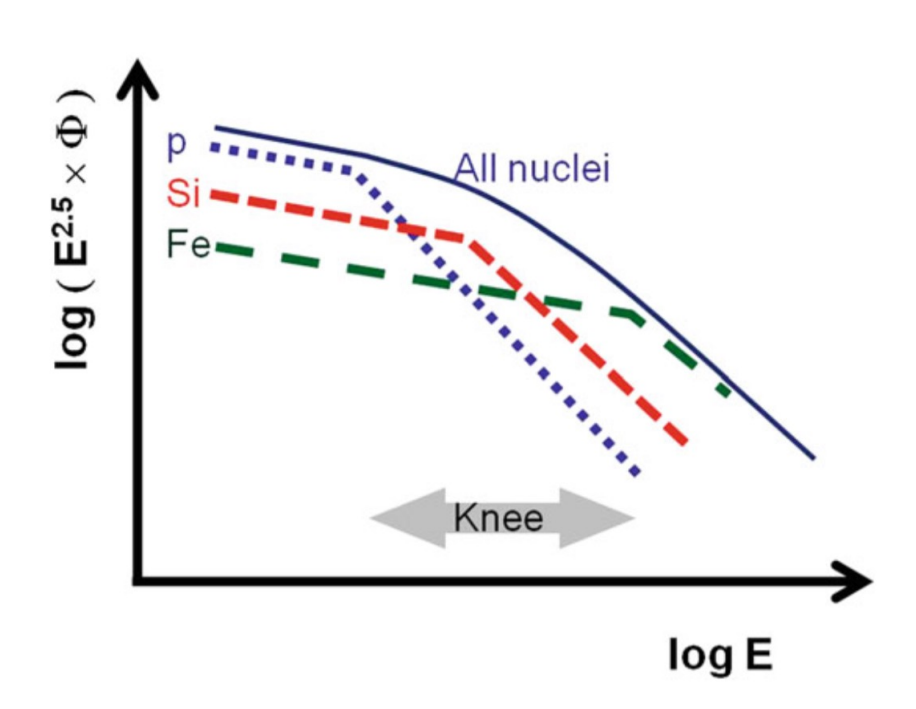
Il "diffusive shock mechanism" spiega in modo naturale la presenza del Ginocchio osservato intorno a qualche 10<sup>15</sup> eV

E<sup>max</sup> dipende linearmente dalla carica della particelle.

→ Ciò significa che i nuclei pesanti sono accelerati maggiormente dei protoni.

In questo modello il **Ginocchio** è spiegato come una <u>struttura</u> <u>formata dalla diversa energia</u> <u>massima</u> che i differenti nuclidi possono raggiungere con la loro carica Z.

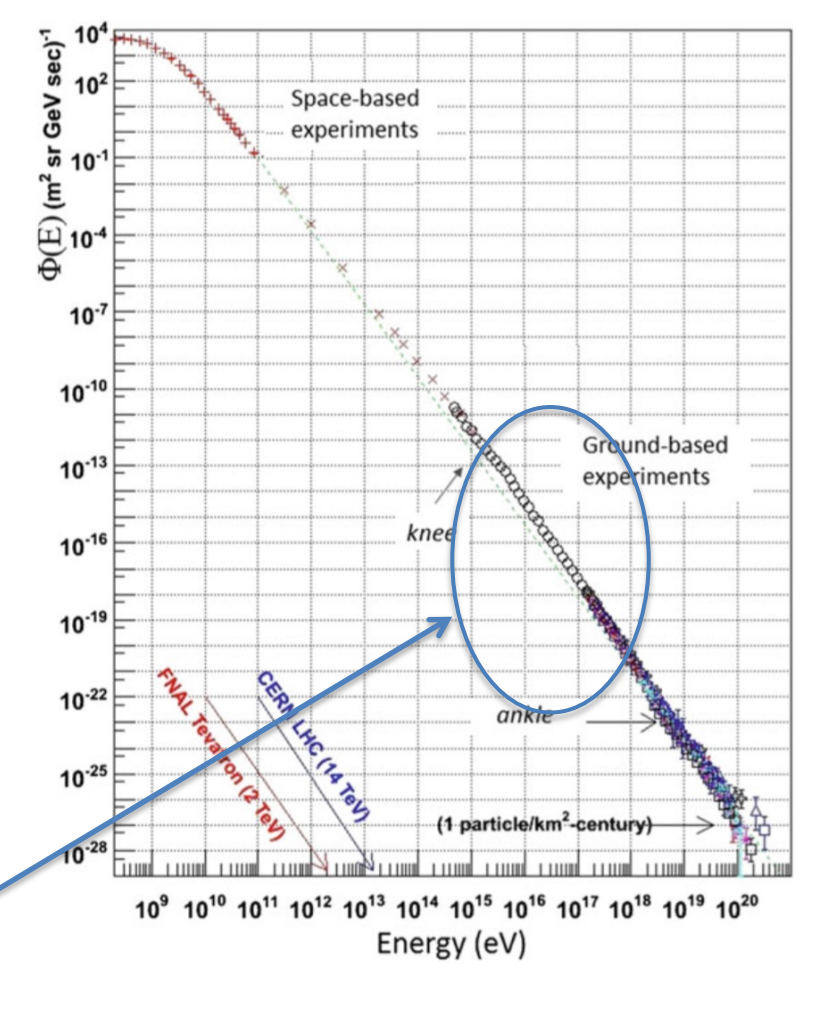
$$E^{\max} = E^{\max}(Z)$$



### RC Galattici sopra il Ginocchio

Si è detto che i RC di origine ExtraGalattica dovrebbe fare la loro comparsa nello spettro osservato a partire da qualche 10<sup>18</sup> eV corrispondente alla regione della Caviglia.

Occorre pertanto spiegare la presenza di <u>RC di</u> origine <u>Galattica</u> sopra il <u>Ginocchio</u> sino ad energie di circa 10<sup>18</sup> eV.



#### considerazioni energetiche spettro tra il ginocchio e la caviglia

Iniziamo con le considerazioni energetiche necessarie per dare ragione dello spettro osservato nella regione compresa tra il ginocchio e la caviglia.

Rifacciamo quindi ciò che abbiamo fatto in precedenza per trovare il Rate di Perdita di Energia ("Energy Loss Rate") P<sub>CR</sub> per i RC sotto il Ginocchio che risultava essere  $P_{CR} \approx 3.10^{40} \text{ erg/s}.$ 

$$P(>E_0) = \frac{\rho_{CR}(>E_0) \cdot V_{Galaxy}}{\tau_{esc}(>E_0)} \quad \left[\frac{erg}{s}\right]$$

- La stima di  $\rho_{CR}(>E_0)$  è ottenuto attraverso misure indirette integrando lo spettro a partire da 10<sup>16</sup> eV.
- Il valore dell'escape time  $\tau_{esc}(>E_0)$  è invece più difficile da stimare; avendo solo misure indirette. Non è possibile fare una semplice estrapolazione dalla legge  $E^{-0.6}$  trovata in precedenza. Misure accurate danno un valore di  $\tau_{esc}(E)$  per E>5 PeV pari a:

$$\tau_{esc}(E) \approx 0.8 \cdot 10^5 \cdot \left(\frac{E}{5 \ PeV}\right)^{-0.53} anni$$
 Esempio: per E=10<sup>16</sup> eV  $\tau_{esc} \approx 50000 \ anni$ 

Per RC con energia superiore ai 10<sup>16</sup> eV si ottiene un valore pari a:

$$P(>10 \ PeV) \approx 5 \cdot 10^{37} \quad \left[\frac{erg}{s}\right]$$

ossia 3 ordini di grandezza inferiore a quanto richiesto per l'intero spettro dei RC.

Sono quindi sufficienti un **paio di sorgenti** galattiche potenti per sostenere il flusso osservato tra il Ginocchio e la Caviglia.

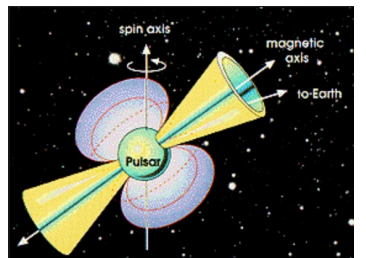
Per <u>sorgenti potenti</u> intendiamo sorgenti che presentano (vedi più avanti Hillas Plot)

- Un grande campo magnetico B
   e/o
- Un grande dimensione di accelerazione L

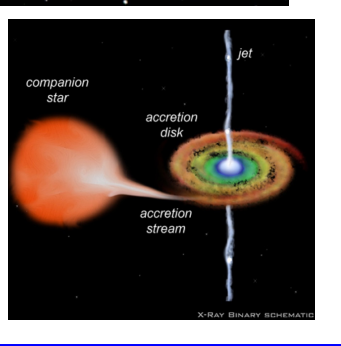
 $E^{\max} \propto Ze \ B \ L$ 

Oggetti celesti galattici che hanno campi magnetici molto intensi sono le:

Pulsars



X-Ray binaries



#### **Pulsars**

Una Pulsar è una **stella a neutroni rotante** che emette un fascio di radiazione elettromagnetica tipicamente nella direzione degli assi magnetici.

L'energia massima  $\mathbf{E}_{\max}$  raggiungibile da RC accelerati da una pulsar è:  $E_{pulsar}^{\max} = Ze \cdot R_{NS} \cdot B_{NS} \cdot \frac{\omega_{NS} \cdot R_{NS}}{c}$ 

Il **raggio di una Stella a Neutroni R<sub>NS</sub>** è tipicamente dell'ordine di qualche chilometro.

$$R_{NS} \approx 3 \cdot 10^3 m$$

A) Il valore della **velocità angolare** ω<sub>NS</sub> può essere determinato imponendo la <u>conservazione del</u> momento angolare:

$$\omega_{NS} \approx 12.5 \cdot 10^3 \, \frac{rad}{s}$$

B) Il valore del **campo magnetico B** può essere determinato imponendo la <u>conservazione del flusso magnetico</u>:

$$B_{NS} \approx 10^{11 \div 12} Gauss$$

Una stella come il Sole ha un raggio  $R_{sole}$ =  $7\cdot10^5$  km e compie una rotazione ogni 30 giorni ( $\omega_{Sole}$ =  $2.5\cdot10^{-5}$  rad/s)

$$M \cdot R_{Sole}^2 \omega_{Sole} = M \cdot R_{NS}^2 \omega_{NS}$$

$$\omega_{NS} = \left(\frac{7 \cdot 10^5 \ km}{10 \ km}\right)^2 2.5 \cdot 10^{-6} \ \frac{rad}{s} = 12500 \ \frac{rad}{s}$$

Conservazione del flusso magnetico durante la contrazione di una tipica stella con  $B_{star}$ =10<sup>3</sup> Gauss

$$\oint B_{star} \, dA_{star} = \oint B_{NS} \, dA_{NS}$$

$$4\pi B_{star}R_{star}^2 = 4\pi B_{NS}R_{NS}^2 \longrightarrow B_{NS} \approx 10^{11+12}~Gauss$$

Introducendo i valori numerici appena trovati avremo:

$$E_{pulsar}^{\max} = 4.8 \cdot 10^{-10} \left[ statC \right] \cdot 10^{6} \left[ cm \right] \cdot 10^{11} \left[ Gauss \right] \cdot 0.1 \approx 5 \cdot 10^{6} erg \approx 3 \cdot 10^{18} eV$$

$$E_{pulsar}^{\max} \approx 3 \cdot 10^{18} eV$$

$$\frac{\omega_{NS} \cdot R_{NS}}{c} \approx 0.1$$

**Energia rotazionale** posseduta da una Pulsar E<sub>rot</sub>:

$$E_{rot} = \frac{1}{2} I \omega_{NS}^2 = \frac{1}{5} M_{NS} R_{NS}^2 \omega_{NS} \approx 10^{61 \div 62} \ eV$$

Ciò significa che è sufficiente una piccola frazione di questa energia per mantenere il flusso osservato sopra il valore di E<sub>0</sub> anche da <u>un singolo oggetto nelle Galassia</u>.

Comunque ad oggi <u>non esistono dettagli teorici del meccanismo</u> all'interno di una pulsar che permettano di spiegare come la piccola frazione di energia rotazionale e l'energia del campo magnetico vengano convertita in accelerazione delle particelle.

## X-ray binaries

Come candidati di sorgenti acceleratrici di RC, siamo interessati a sistemi binari consistenti in un oggetto compatto (una pulsar,\_\_\_stella a neutroni una stella a neutroni o un buco nero) e una stella normale.

pulsar buco nero



Una particolare classe di X-ray binaries è dato dalle MICROQUASAR che presentano jets relativistici in banda radio. Questo le rende molto simili morfologicamente alle AGN di cui parleremo più avanti.

Siccome le AGN sono ritenute le sorgenti più plausibili dei RC extregalattici; la somiglianza con microquasar galattiche ne ha reso queste ultime dei possibili candidati a RC galattici.

*Microguasar*  $\subset$  *X* – ray binaries



Il campo magnetico rotante della stella a neutroni (che è perpendicolare al disco di accrescimento) produce un campo elettrico E

 $E = \int e \cdot \frac{(v \times B)}{c} ds \approx e \ v \ B \ \Delta s$ 

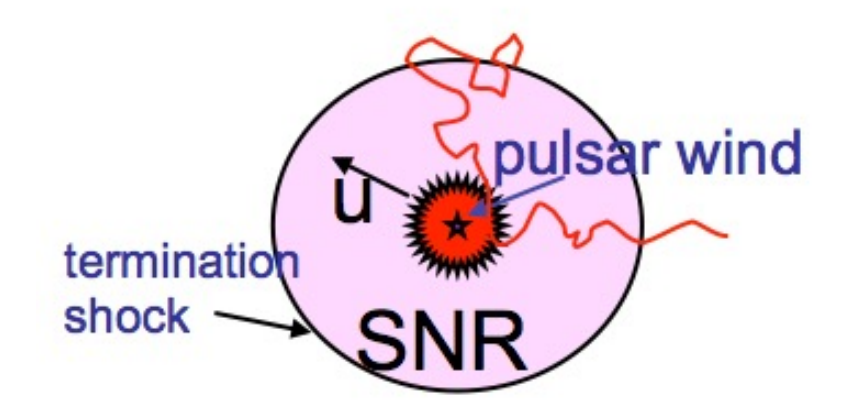
Introducendo i valori di B= $10^{10}$  Gauss e  $\Delta s=10^7$  cm, v=c si ottiene un valore di energia massima  $E_{max}$  pari a:

 $E_{microquasar}^{\text{max}} \approx 10^{16 \div 18} eV$ 

state osservate microquasars (LS I +61 303 e LS 5039) in Gamma Astronomia

#### Wind-SNR

Un'altra ipotesi di sorgenti galattiche che potrebbero spingere i RC sino ad energie di  $E_{max}$ =  $10^{18}$  eV è dato dal fatto che talune SNR potrebbero possedere al centro una pulsar.



In tabella sono riassunte le **sorgenti galattiche**: le SNR accelerano fino a 10<sup>15</sup> eV, le wind-SNR spingerebbero fino a 10<sup>18</sup> eV, così come le pulsars e le X-ray binaries.

Source class	Electromagnetic output	Lifetime	Energy range (eV)		
	erg/s				
Galactic sources					
Supernova remnants (SNR)	10 <sup>42</sup>	$10^3 - 10^4 \mathrm{y}$	$10^{10} - 10^{15}$		
Wind-SNR	10 <sup>44</sup>	1,000 y	$10^{10} - 10^{18}$		
X-ray binaries	10 <sup>38</sup>	10 <sup>5</sup> y	10 <sup>14</sup> -10 <sup>18</sup>		
Pulsars	10 <sup>37</sup>	10 <sup>6</sup> y	10 <sup>14</sup> –10 <sup>18</sup>		

#### link

http://people.na.infn.it/~barbarin/MaterialeDidattico/0+approfondimenti%20c orso%20Fisica%20astroparticellare/8-raggi%20cosmici/01\_Raggi\_Cosmici.pdf

http://deim.urv.cat/~manlio.dedomenico/res/tesi\_nonlinear.pdf

http://www.ast.leeds.ac.uk/Auger/augerthesis/mexlects3.pdf

(Astronomers' Universe) Mario Bertolotti (auth.)-Celestial Messengers\_ Cosmic Rays\_ The Story of a Scientific Adventure-Springer-Verlag Berlin Heidelberg (2013)

http://www-astro.physics.ox.ac.uk/~garret/teaching/lecture3-2012.pdf

http://www.df.unipi.it/~flaminio/astroparticelle/